

Kern- und Teilchenphysik

Johannes Blümer

Heute: Ralf Ulrich
Vertretung

KIT-Centrum Elementarteilchen- und Astroteilchenphysik KCETA

SS2012

Vorlesung-Website

Do 3. Mai



Übergangsstrahlung, Fluoreszenz, Radioemission

Übergangsstrahlung

$$T = \frac{\gamma^2 (\omega_1 - \omega_2)^2}{3c} \propto \gamma = \frac{E}{m}$$

$$\theta = \frac{1}{\gamma}$$

Fluoreszenzlicht (in N₂)

Luftschauer der kosmischen Strahlung

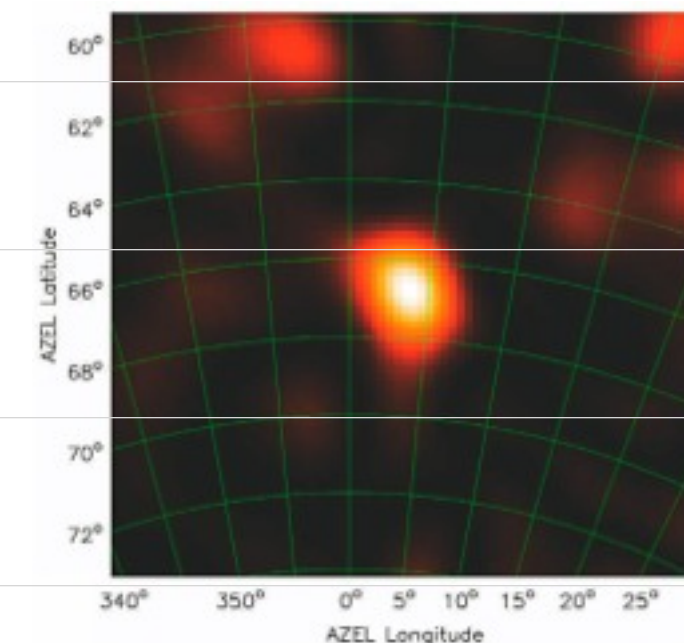
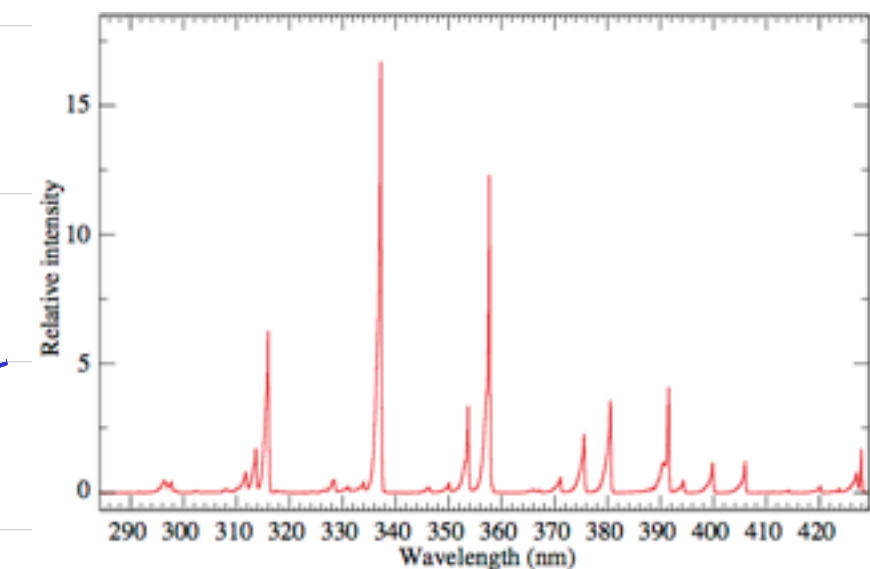
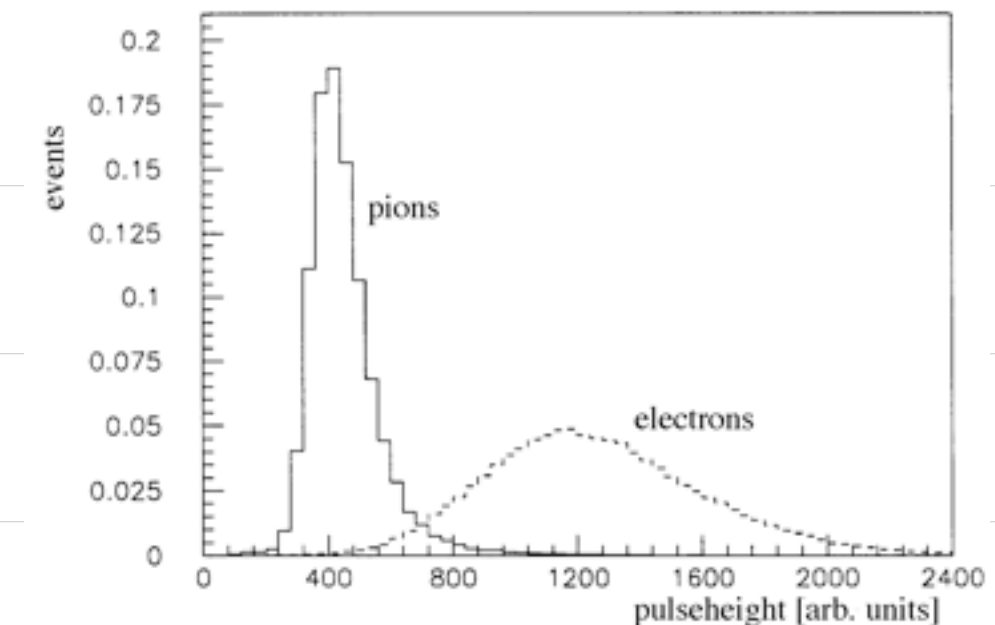
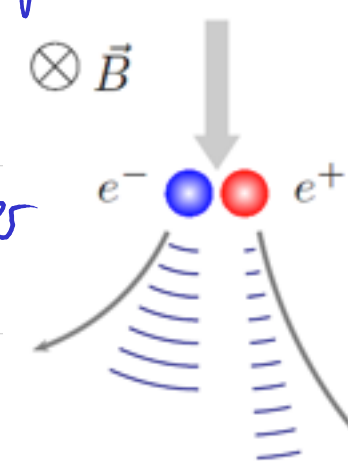
- Elektronen in Luft (N₂)

- Effekt abhängig von
Druck, Temperatur, Luftfeuchtigkeit ...

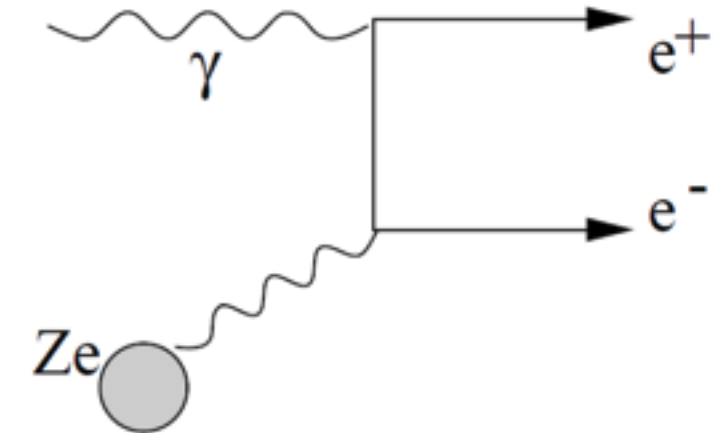
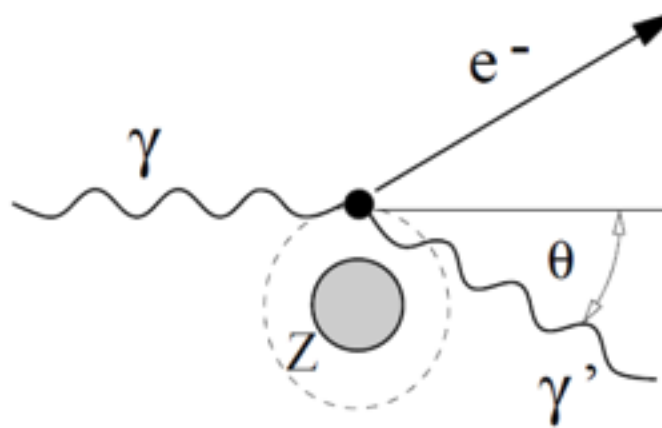
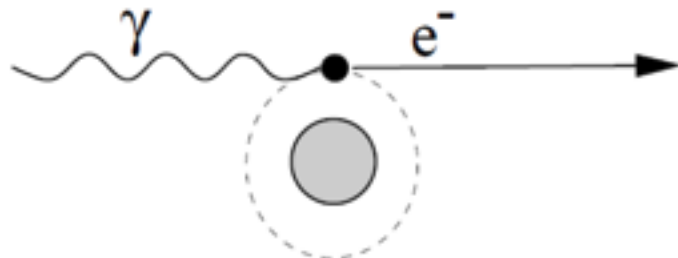
Radioemission (von Schauern)

Elektromagnetische Schauer

- Ladungstrennung
- Ladungen im B-Feld



Photonen: Photoeffekt, Comptonstreuung, Paarbildung



$$\sigma_{\text{photo}} \propto Z^{4..5} / E_{\gamma}^m$$

- Schalenstruktur

- $m = \downarrow$ (leichte Kerne)
- $m = 2,5$ (schwere Kerne)

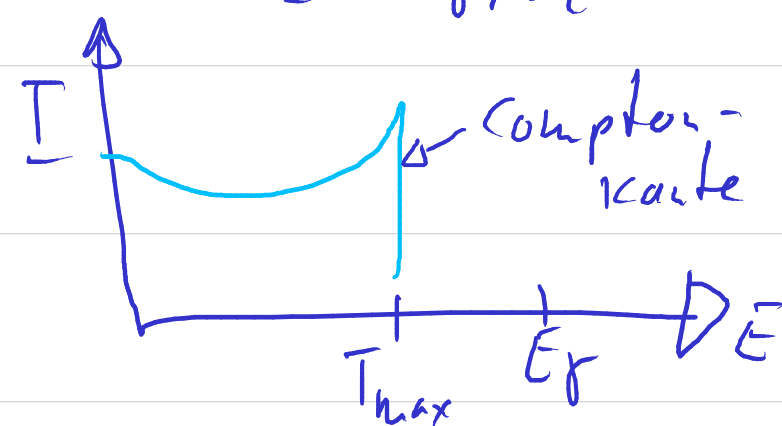
Angeregtes Atom emittiert eV-Photonen oder Auger Elektronen

$$\sigma_{\text{Compton}} \propto N(e) \propto Z^2$$

- max. Energieübertrag

$$T_{\max} = E_{\gamma} \frac{2E}{1+2E}$$

$$E = E_{\gamma} / m_e c^2$$



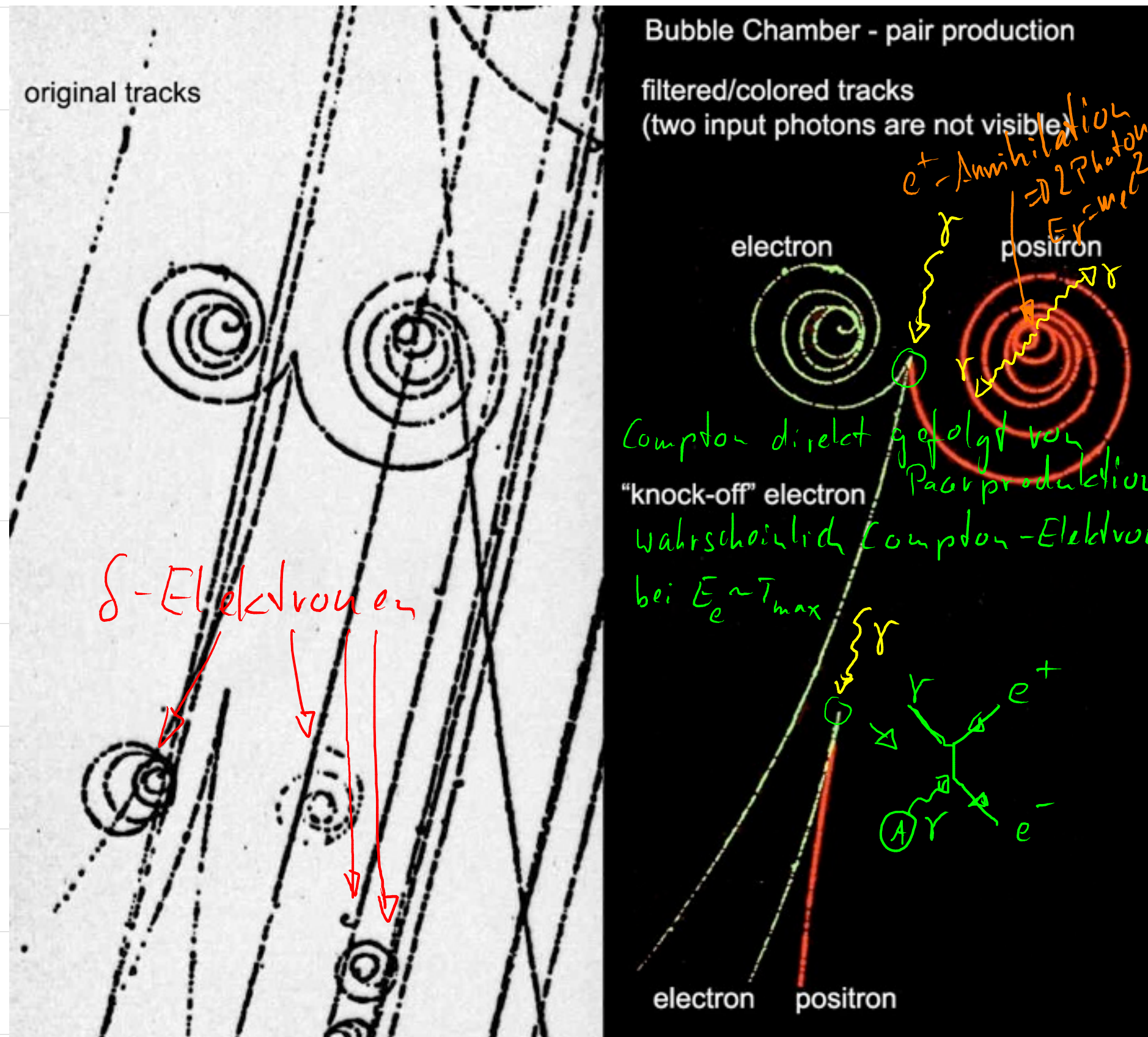
$$\sigma_{\text{paar}} \propto Z^2$$

- oberhalb Energieschelle
 $E_{\gamma} > 2m_e c^2$

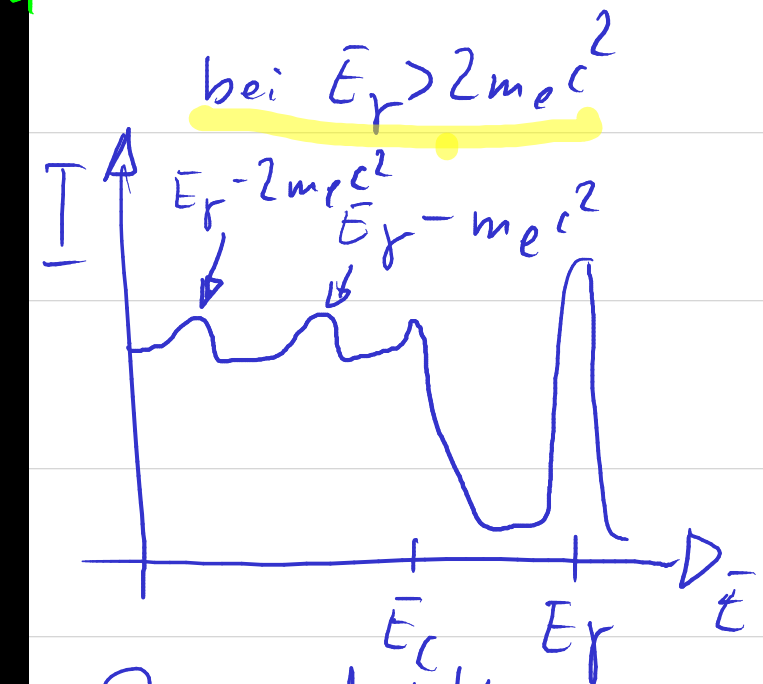
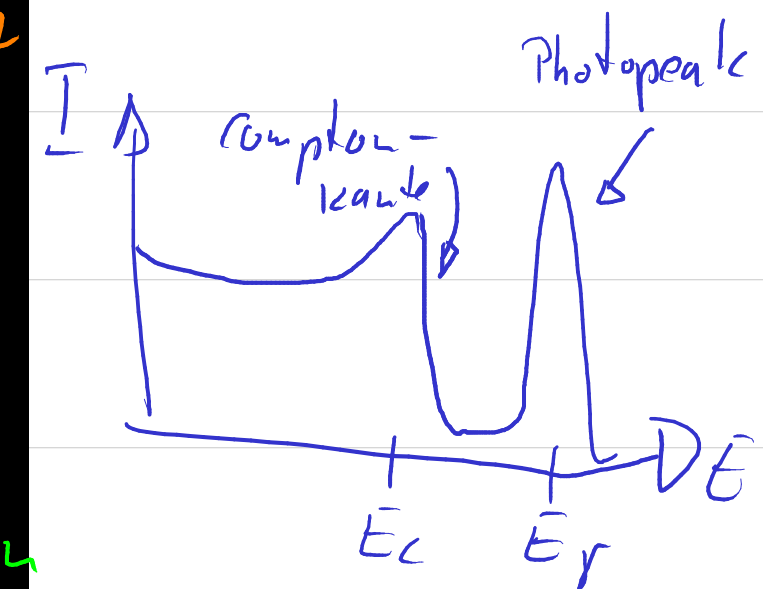
bei hohen Energien

$$\sigma_{\text{paar}} = \frac{I}{g} \frac{1}{h} \frac{1}{x_0}$$

Paarbildung und -Vernichtung in Blasenkammer



γ -Spektroskopie



- Paarproduktion
- Positron-Absorption
- Randeffekt: mc^2 -Photonen gehen verloren

Fig. 1.3. Mass absorption coefficient μ/ρ for photons in lead.

Intensität

$$I(x) = I_0 e^{-\mu x}$$

μ : Massenabsorptionskoeffizient

$$\mu = \frac{1}{\lambda} = h \cdot G$$

λ : mittlere freie Weglänge

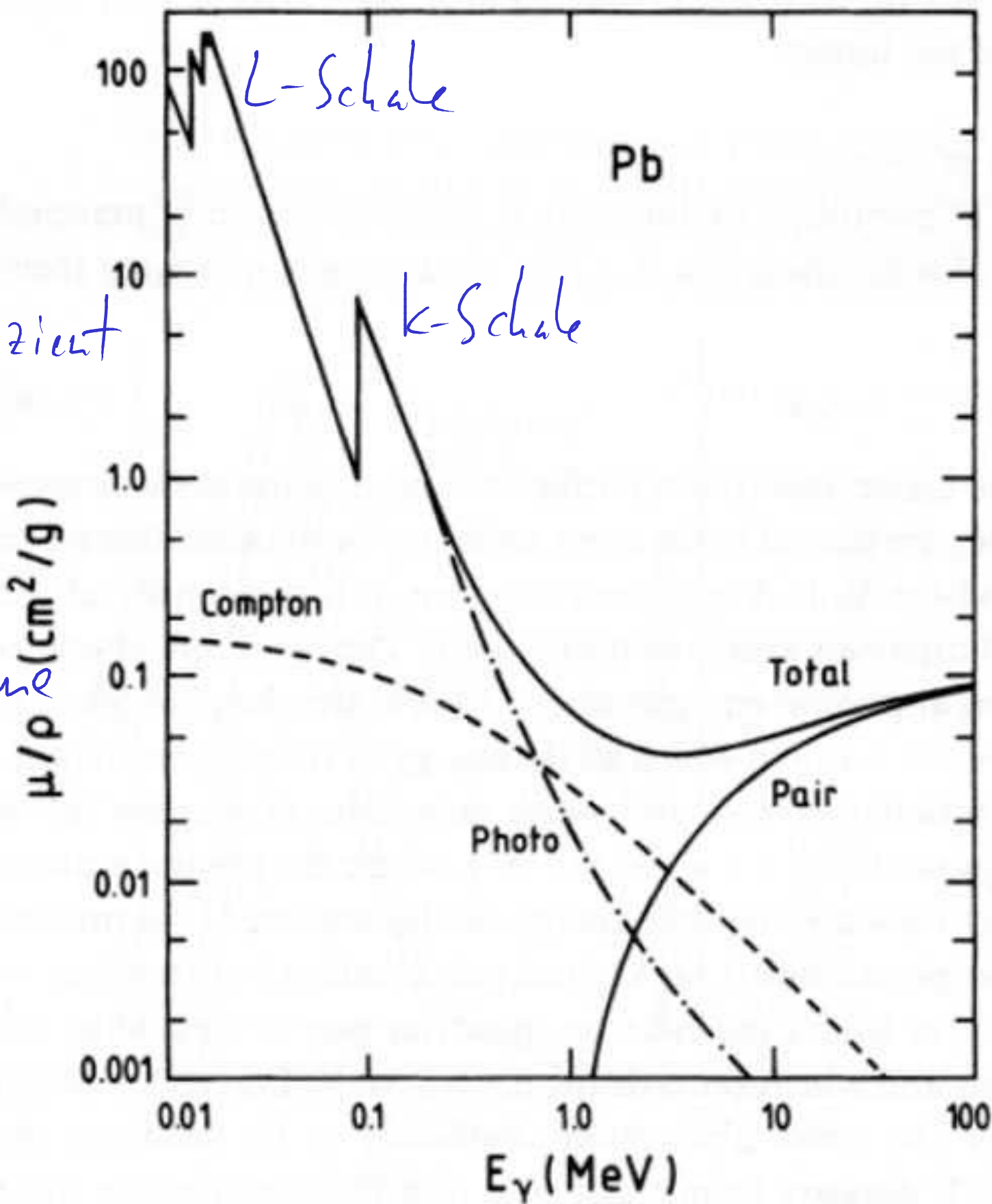
n : Raumdichte Medienatome

$$n = N_A \cdot s / A$$

N_A : Avogadro-Zahl

A : Atomgewicht

$$\mu = \mu_{\text{photo}} + \mu_{\text{Compton}} + \mu_{\text{pair}}$$



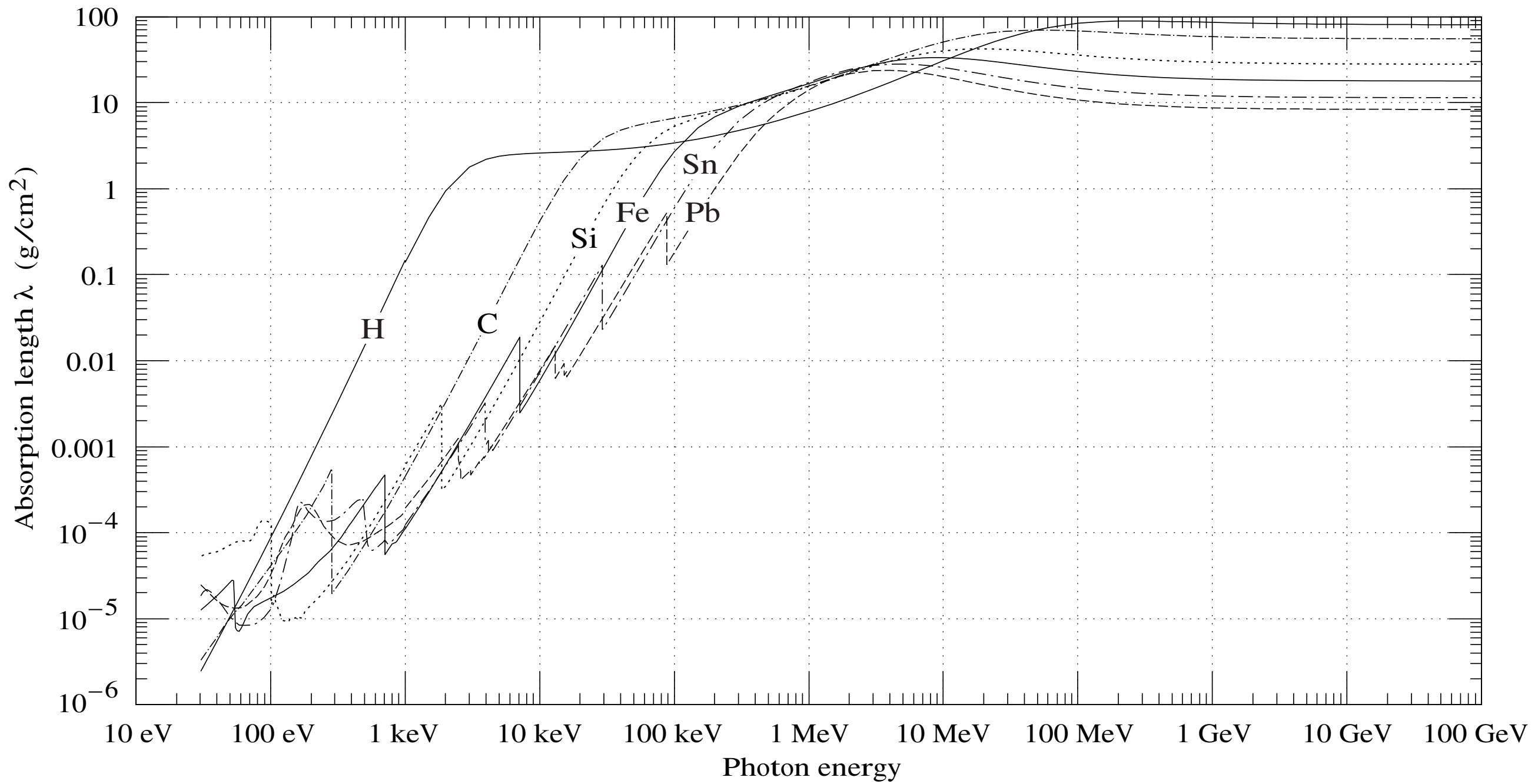


Fig. 27.16: The photon mass attenuation length (or mean free path) $\lambda = 1/(\mu/\rho)$ for various elemental absorbers as a function of photon energy. The mass attenuation coefficient is μ/ρ , where ρ is the density. The intensity I remaining after traversal of thickness t (in mass/unit area) is given by $I = I_0 \exp(-t/\lambda)$. The accuracy is a few percent. For a chemical compound or mixture, $1/\lambda_{\text{eff}} \approx \sum_{\text{elements}} w_Z/\lambda_Z$, where w_Z is the proportion by weight of the element with atomic number Z . The processes responsible for attenuation are given in Fig. 27.10. Since coherent processes are included, not all these processes result in energy deposition. The data for $30 \text{ eV} < E < 1 \text{ keV}$ are obtained from http://www-cxro.lbl.gov/optical_constants (courtesy of Eric M. Gullikson, LBNL). The data for $1 \text{ keV} < E < 100 \text{ GeV}$ are from <http://physics.nist.gov/PhysRefData>, through the courtesy of John H. Hubbell (NIST).

Detektorbeispiele

■ Pionierarbeiten und Beispiele

- Positron; Anderson 1933
 - Blasenkammer, CERN
 - Gasdetektoren
 - Cherenkov-Detektor
 - Szintillator
 - Halbleiterdetektoren
 - Kalorimeter
- } Langsame Datennahme, Photos
manuelle Auswertung, sehr aufwändig
- Elektronische (automatische) Datennahme + Analyse
- Geschwindigkeit β → Masse m
- Energie Absorption (Sz.) → Photonen → Photo-Elektronen (Kathode)
- gute Ortsauflösung
- gute Energierauflösung
- Energieabsorption + Messung

■ Moderne Grossdetektoren

- CMS, Pierre Auger, AMS

⇒ Kombination vieler Detektoren zur Messung möglichst vieler Teilchen-eigenschaften

■ Rutherford-Streuung

- Experiment
- Ableitung der Rutherford-Streuformel
- Größe von Atomkernen

⇒ nächste Woche

Entdeckung des Positrons: Anderson 1933

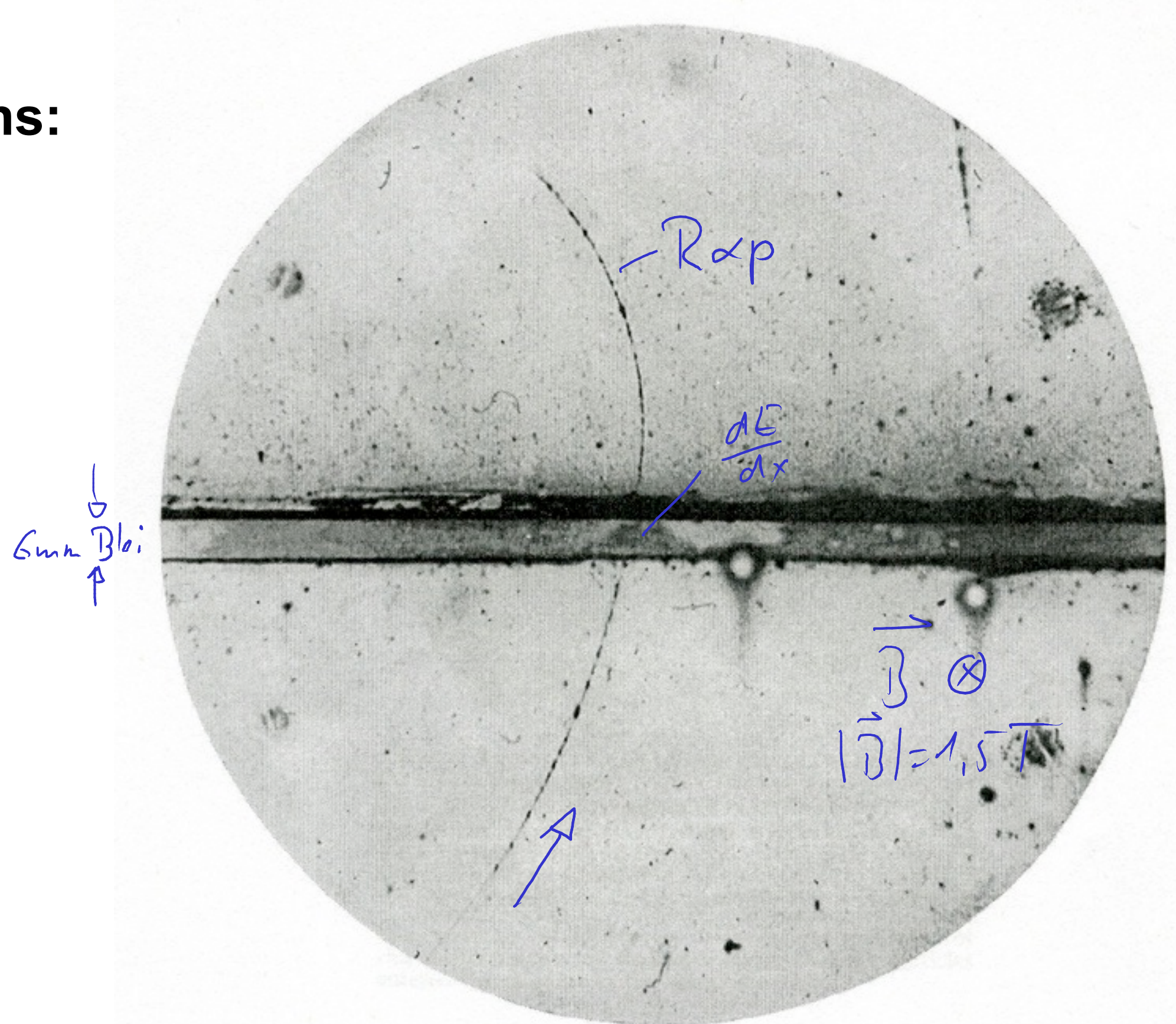
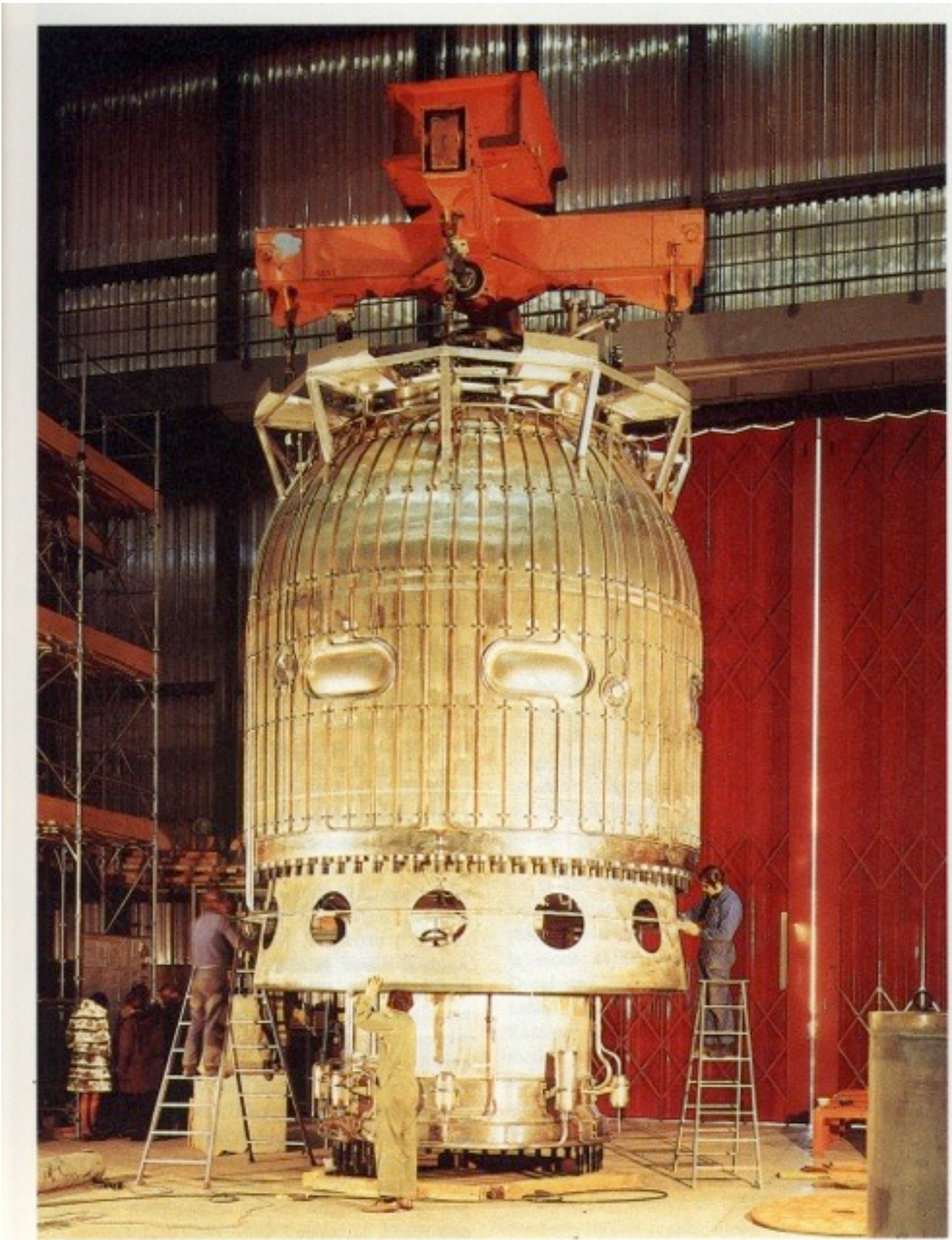


FIG. 1. A 63 million volt positron ($H_p = 2.1 \times 10^5$ gauss-cm) passing through a 6 mm lead plate and emerging as a 23 million volt positron ($H_p = 7.5 \times 10^4$ gauss-cm). The length of this latter path is at least ten times greater than the possible length of a proton path of this curvature.

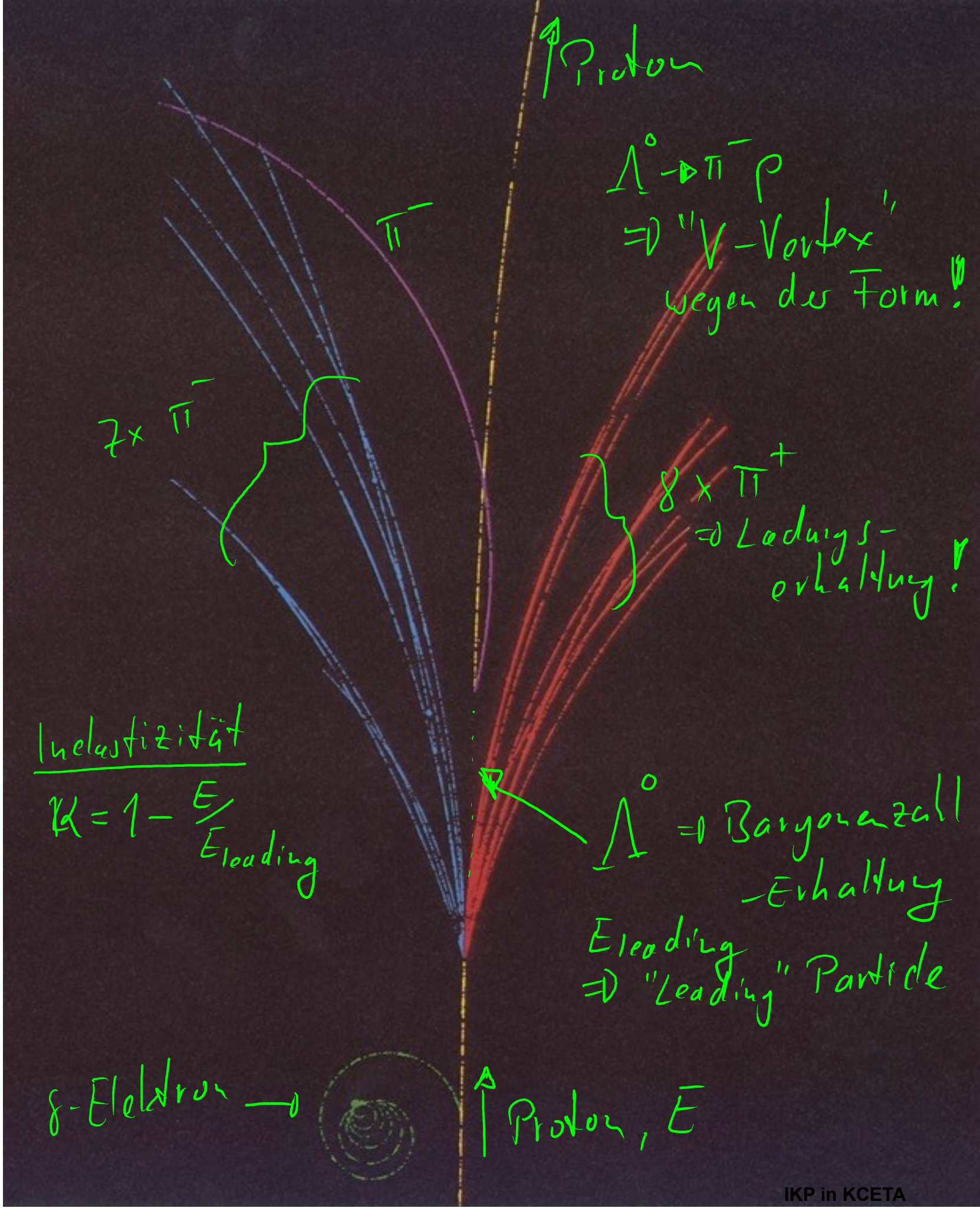
Blasenkammer



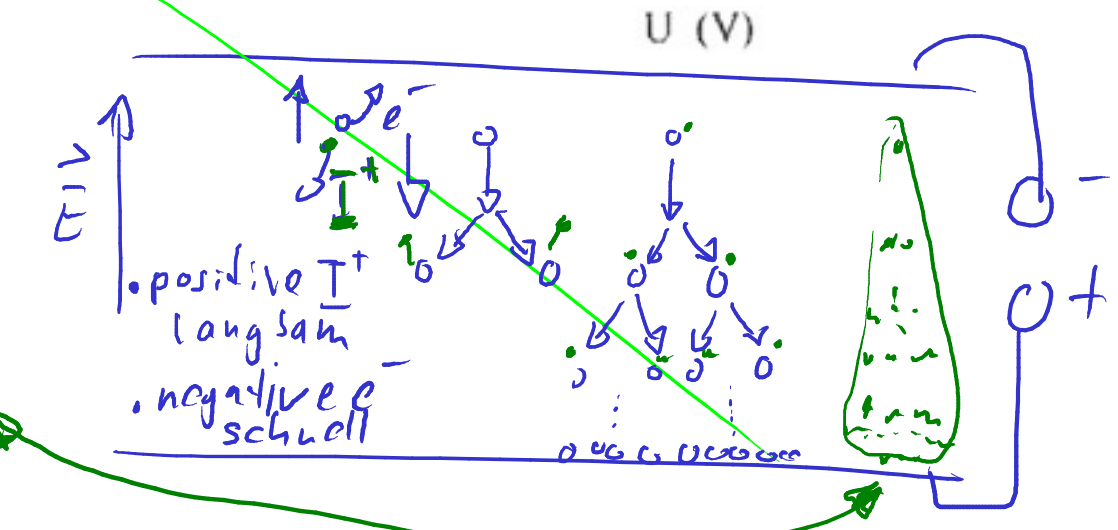
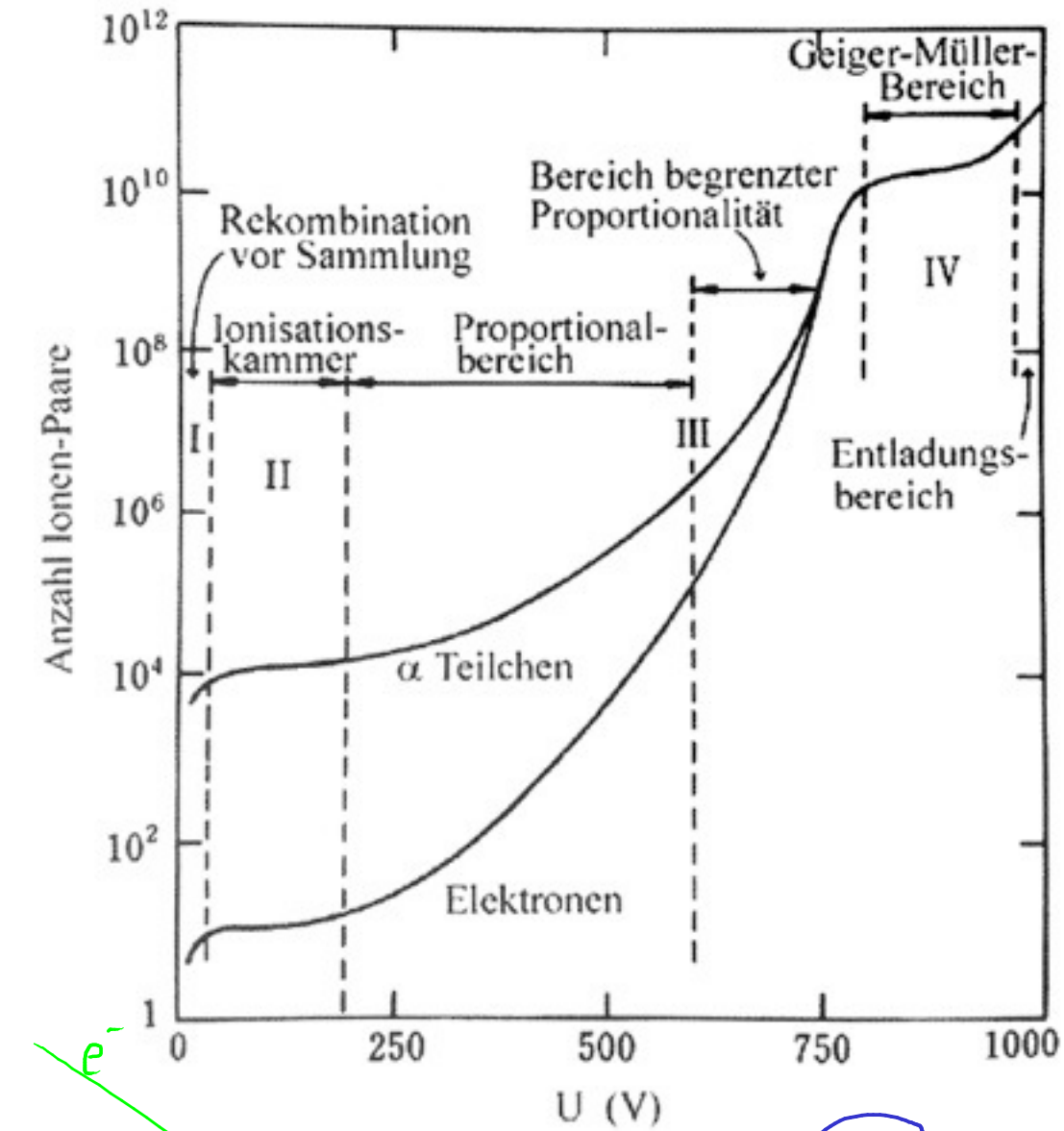
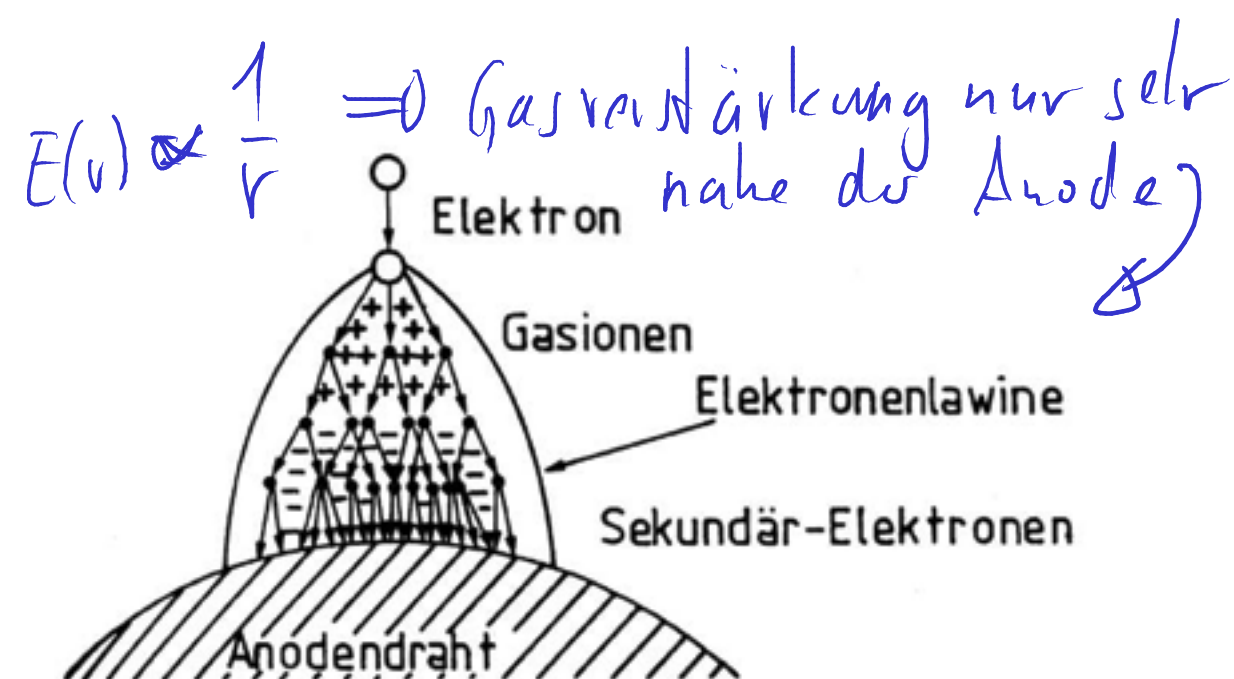
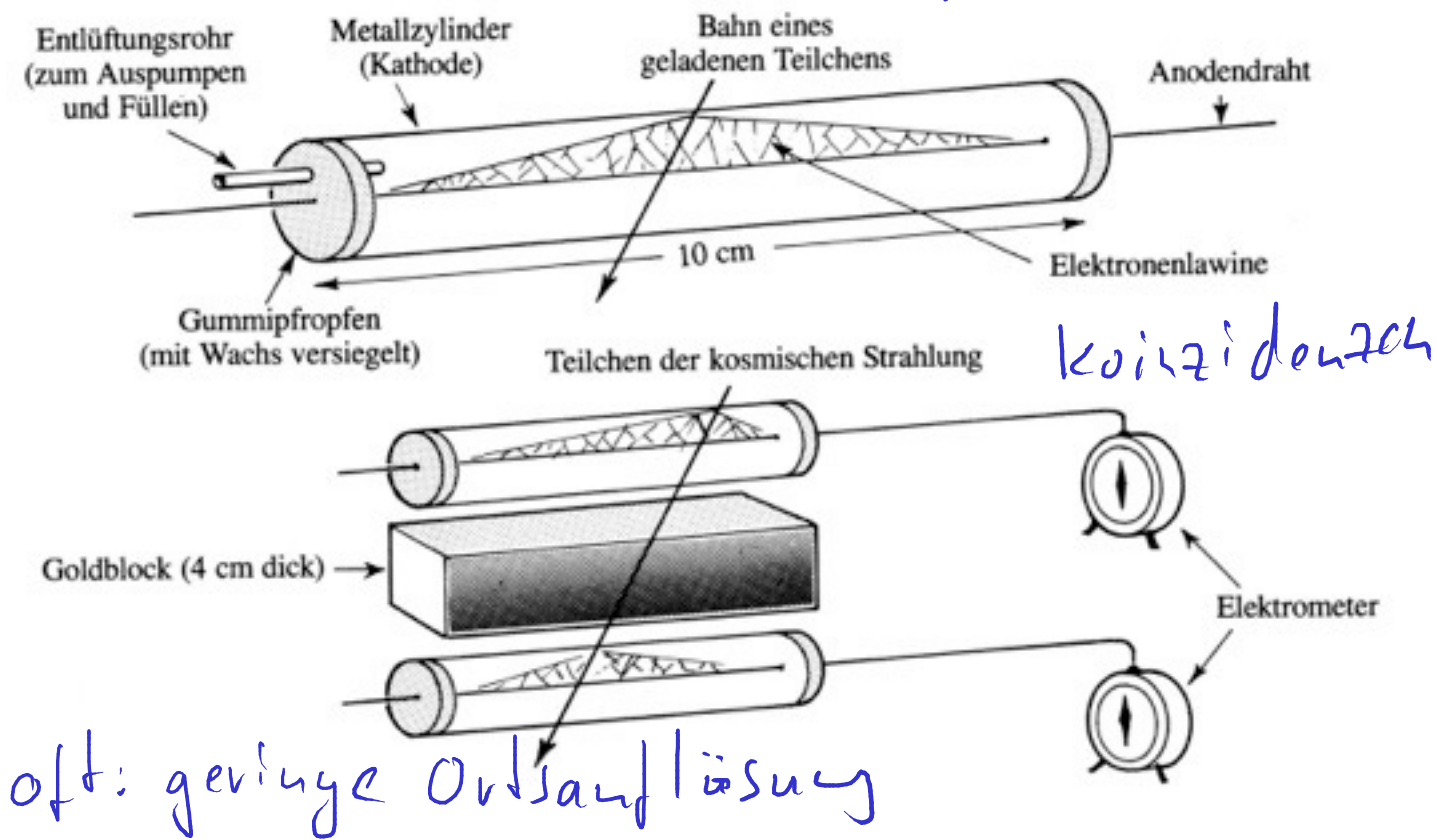
Blasenkammer

typische hadronische Wechselwirkung:

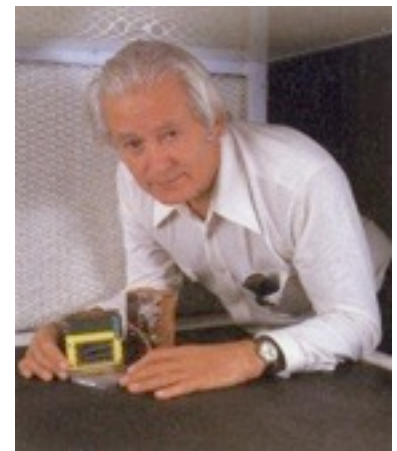
5.13 Ein hochenergetisches Proton (gelb), das von unten ins Bild kommt, kollidierte mit einem ruhenden Proton im flüssigen Wasserstoff der 200-Zentimeter-Blasenkammer am Brookhaven National Laboratory. Die kleine (grüne) Spirale stammt von einem Elektron; sie zeigt, daß negativ geladene Teilchen gegen den Uhrzeigersinn, also zum linken Bildrand, abgelenkt werden, positiv geladene Teilchen folglich nach rechts. Bei der Wechselwirkung entstanden sieben negativ geladene Pionen (blau), neun positiv geladene Teilchen (rot) – ein Proton, ein positives Kaon und sieben positive Pionen – sowie ein neutrales Lambda. Das Lambda flog zwischen dem blauen und dem roten Spurfächer zur Bildmitte und hinterließ selbst keine Spur; es verriet seine Anwesenheit erst, als es in ein Proton (gelb) und ein negativ geladenes Pion (lila) zerfiel. (Die Aufnahme zeigt nur die Spuren, auf die es hier ankommt; alle anderen wurden gelöscht.)



Gasdetektoren



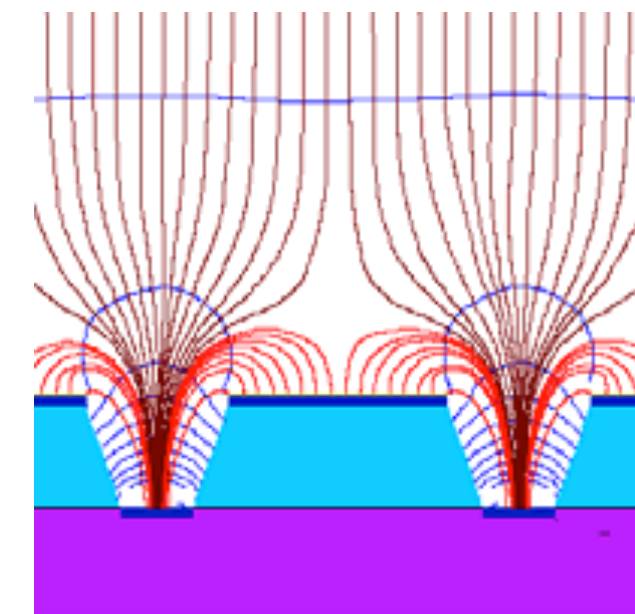
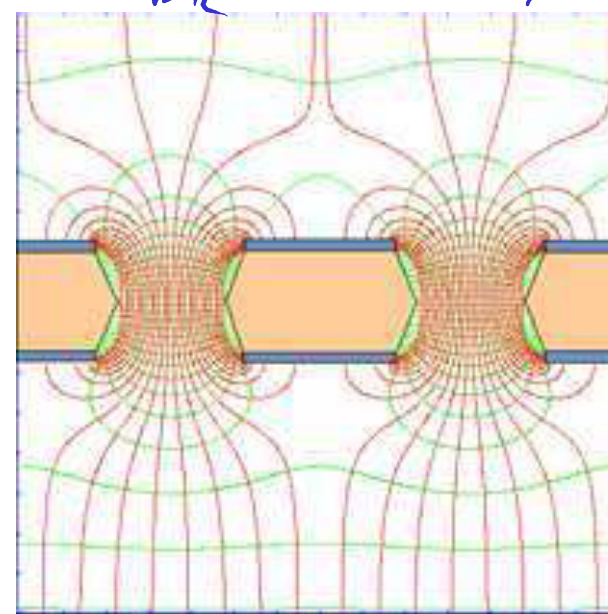
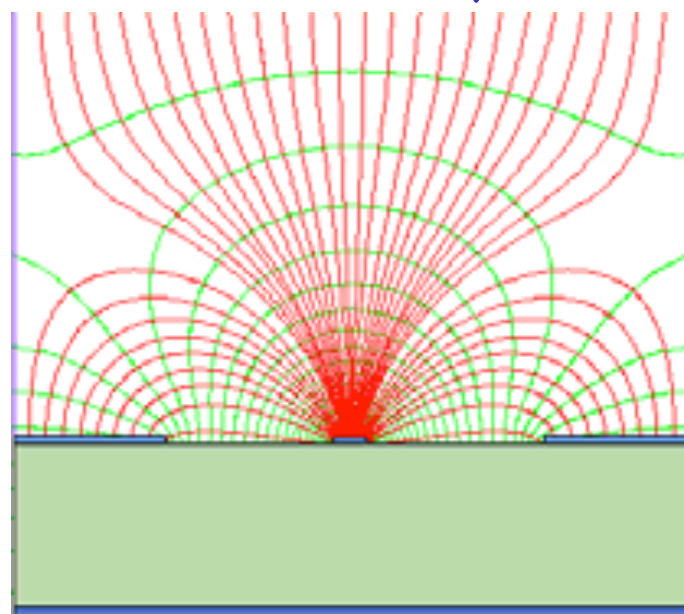
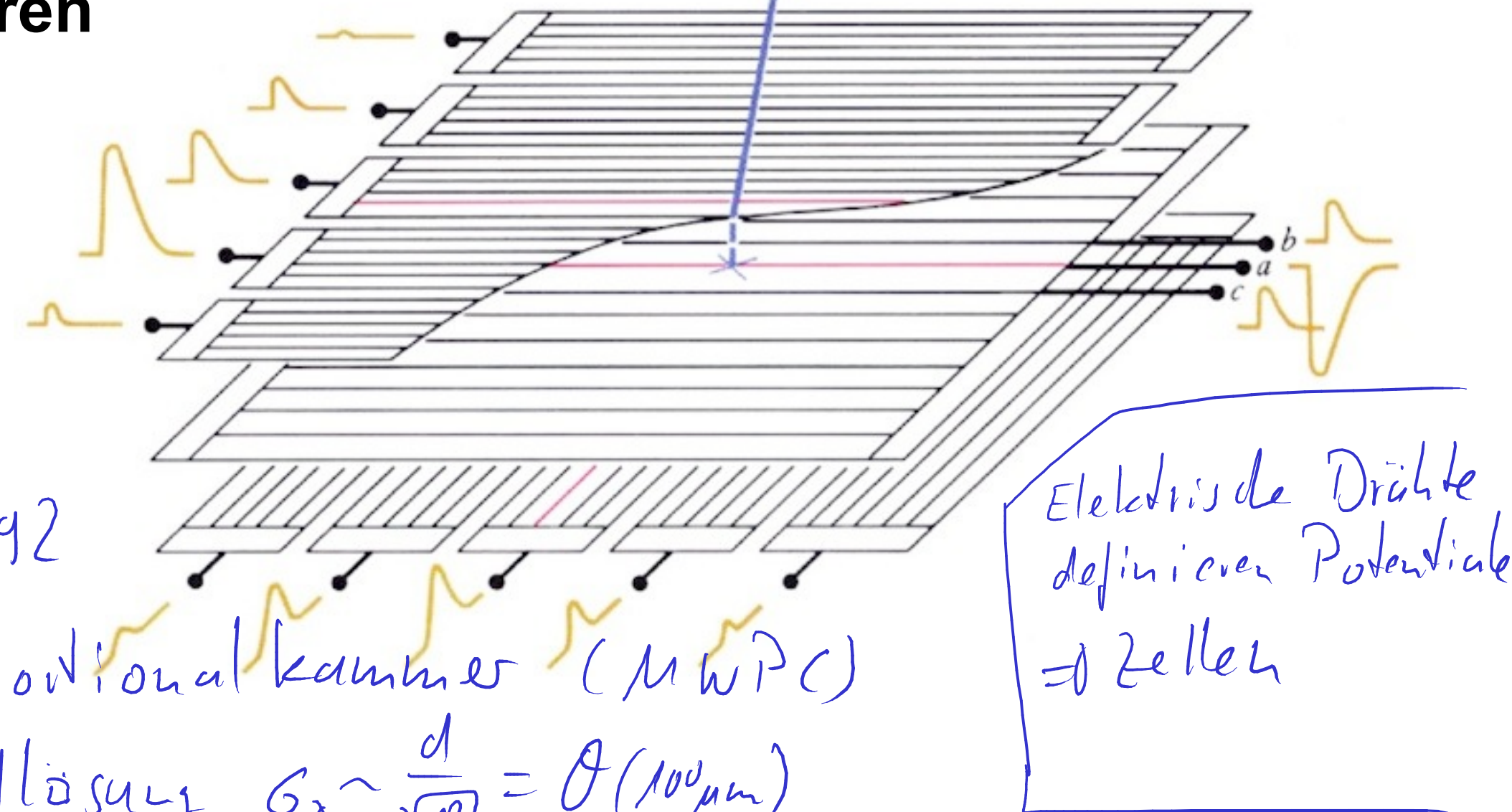
Gasdetektoren



Nobelpreis
Charpak 1992

Vieldrahtproportionalkammer (MWPC)

$$\text{Ortsauflösung } G_x \sim \frac{d}{\sqrt{R}} = \Theta(100 \mu\text{m})$$



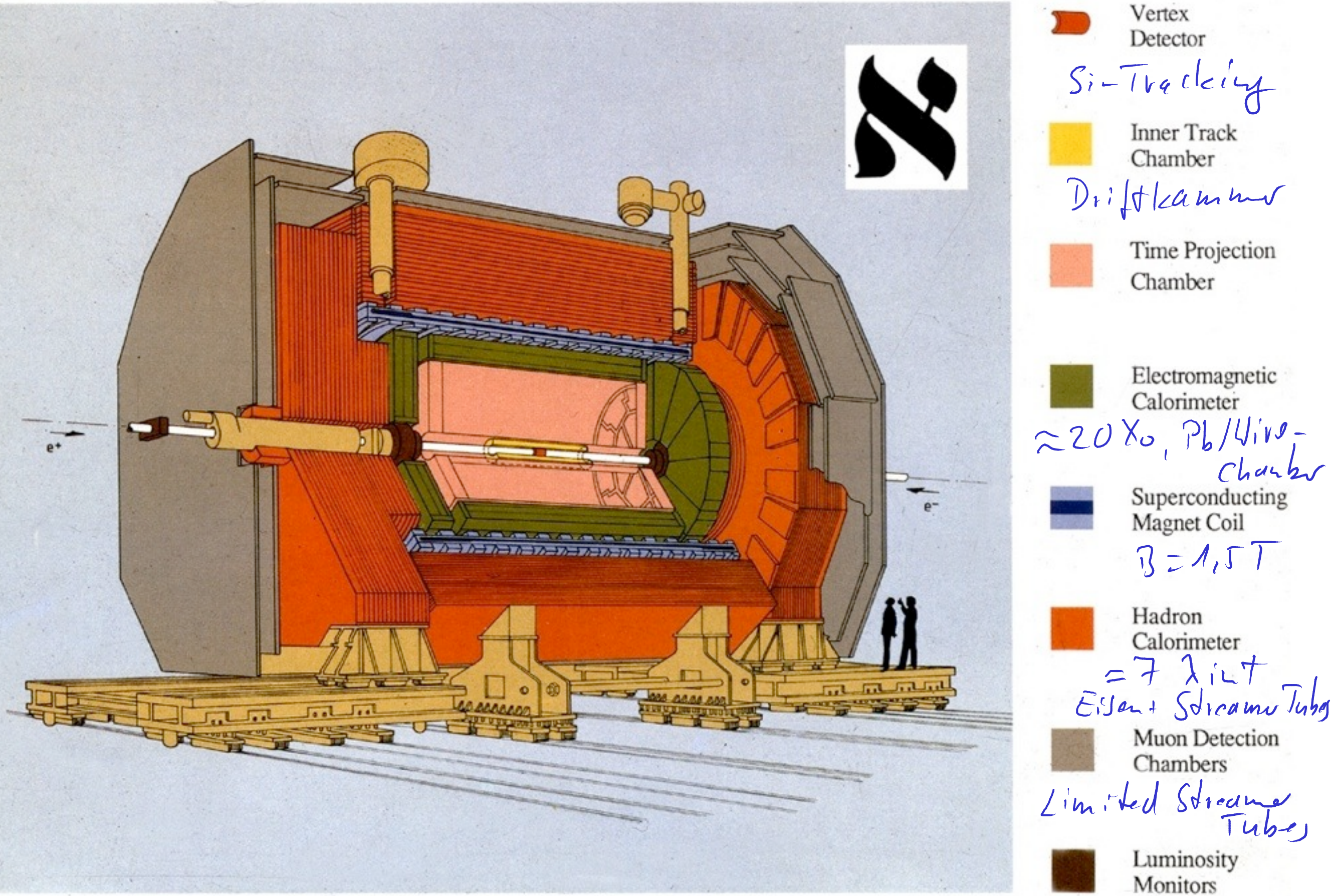
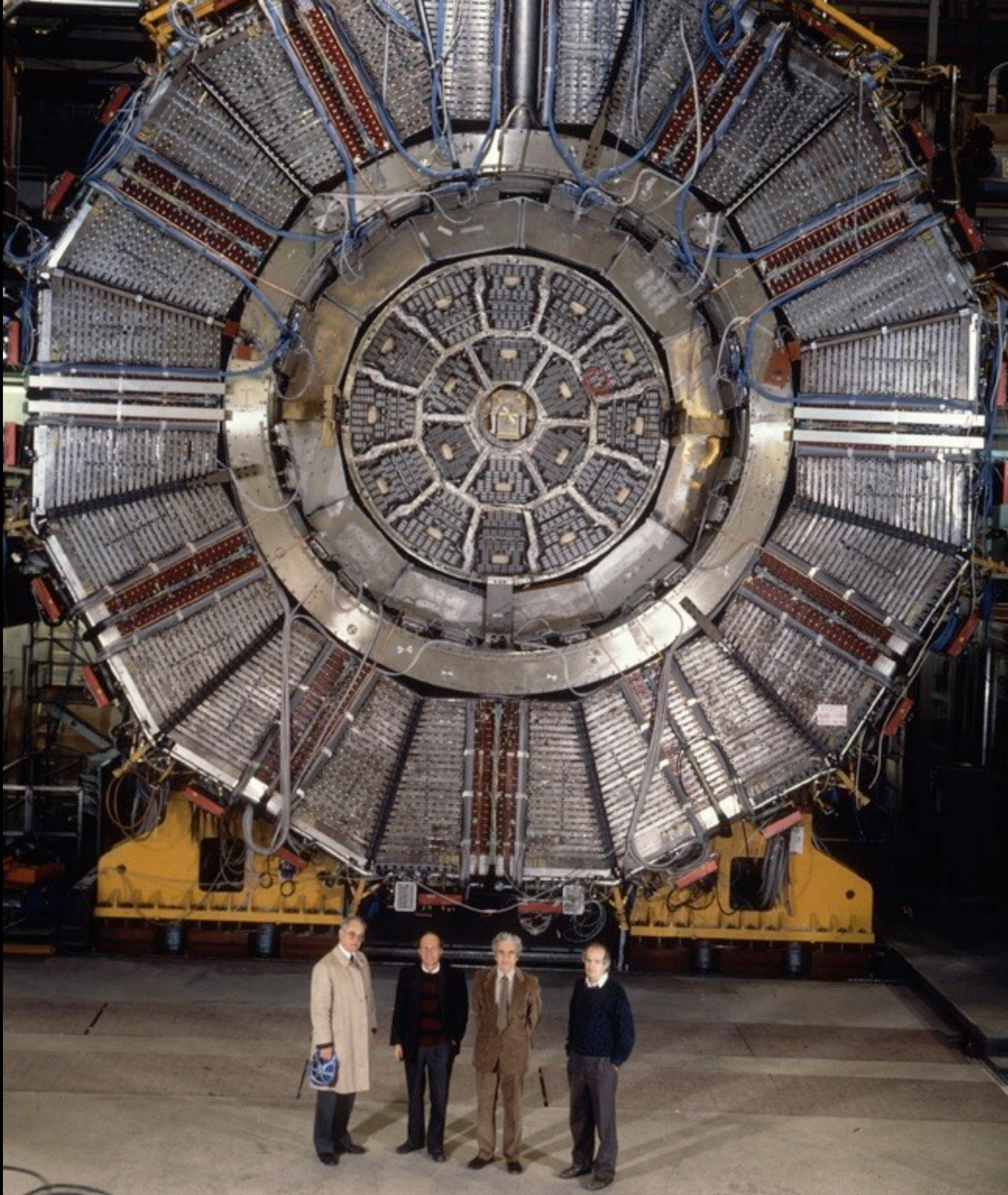


Fig. 1 - The ALEPH Detector

gross...



aber:
CMS
+
ATLAS

=> viel
größer!



ALEPH DALI_D7

ECM=161 Pch=128. Efl=158. Ewi=56.2 Eha=60.6 RQ_41437

Nch=33

EV1=0

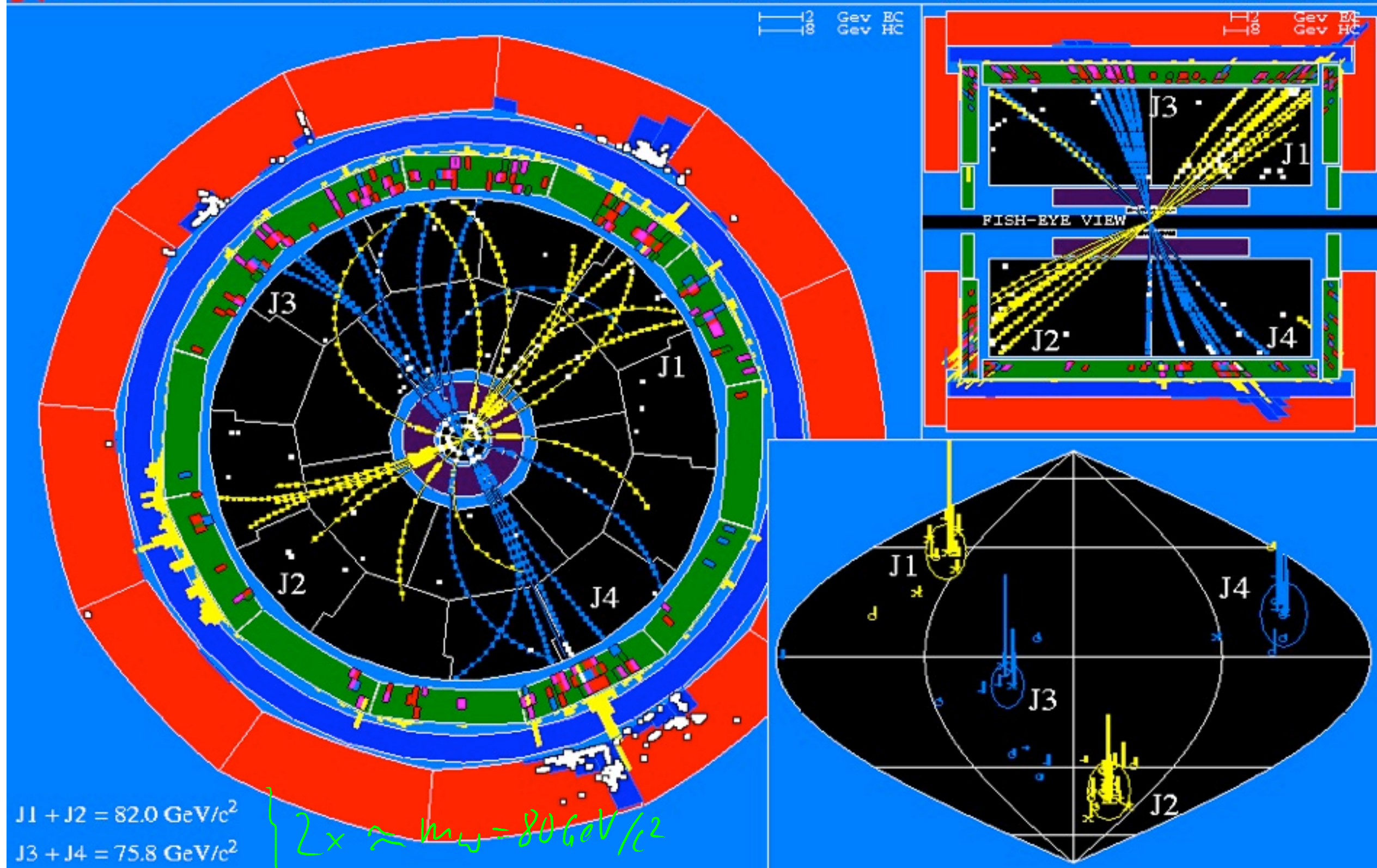
EV2=0

EV3=0

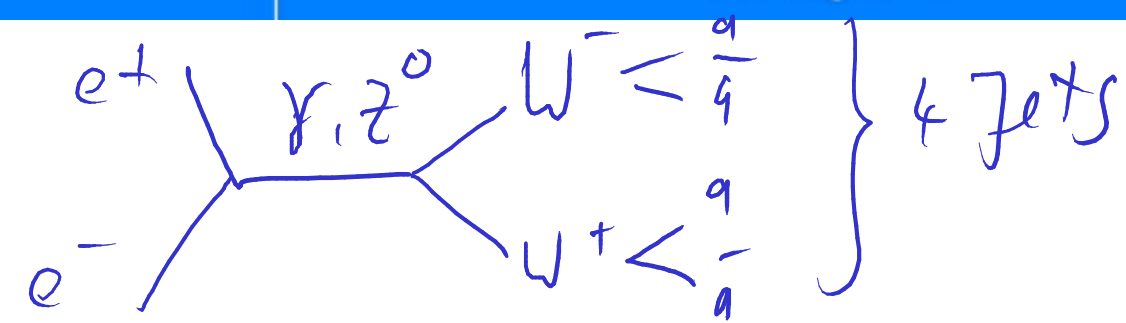
ThT=0

Run=41437 Evt=5974
Detb= E1FFFF

96-07-11 13:30

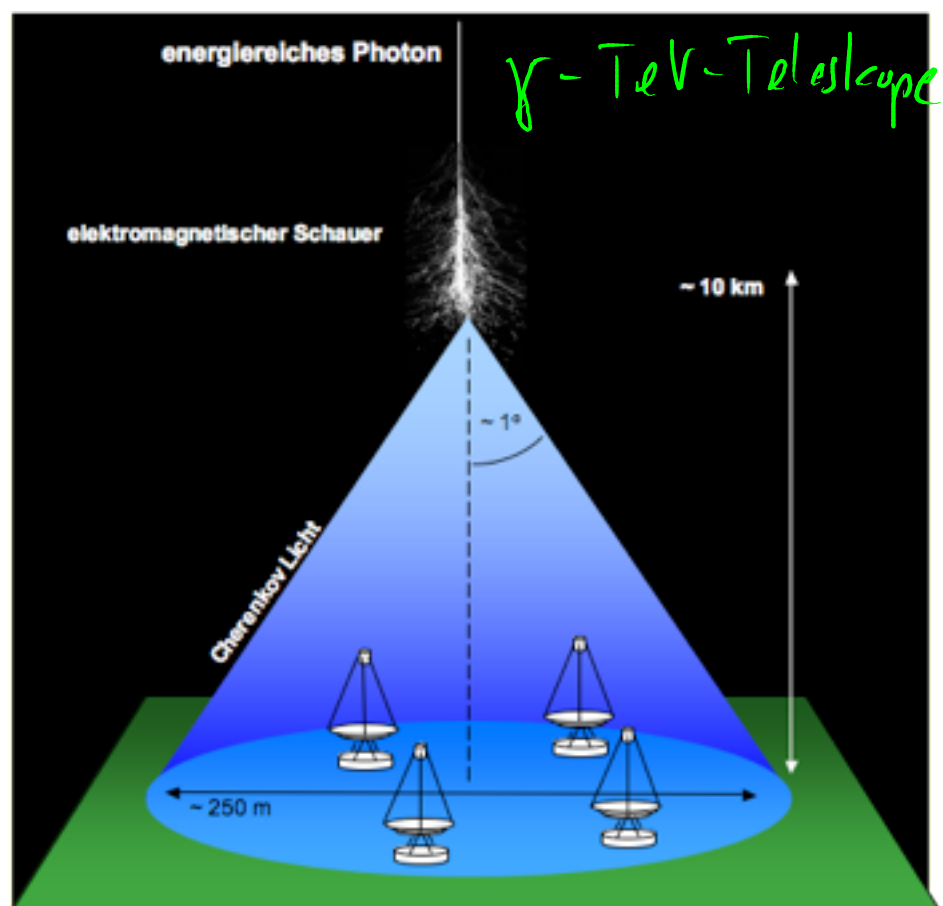
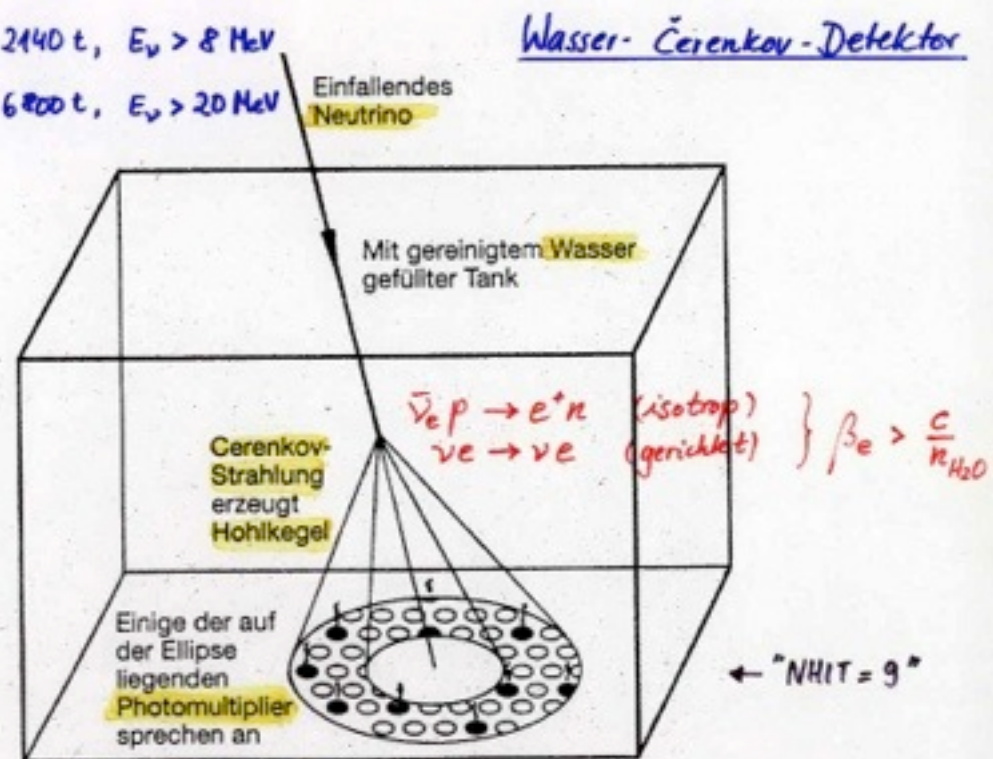


typisches LEP Ereignis:



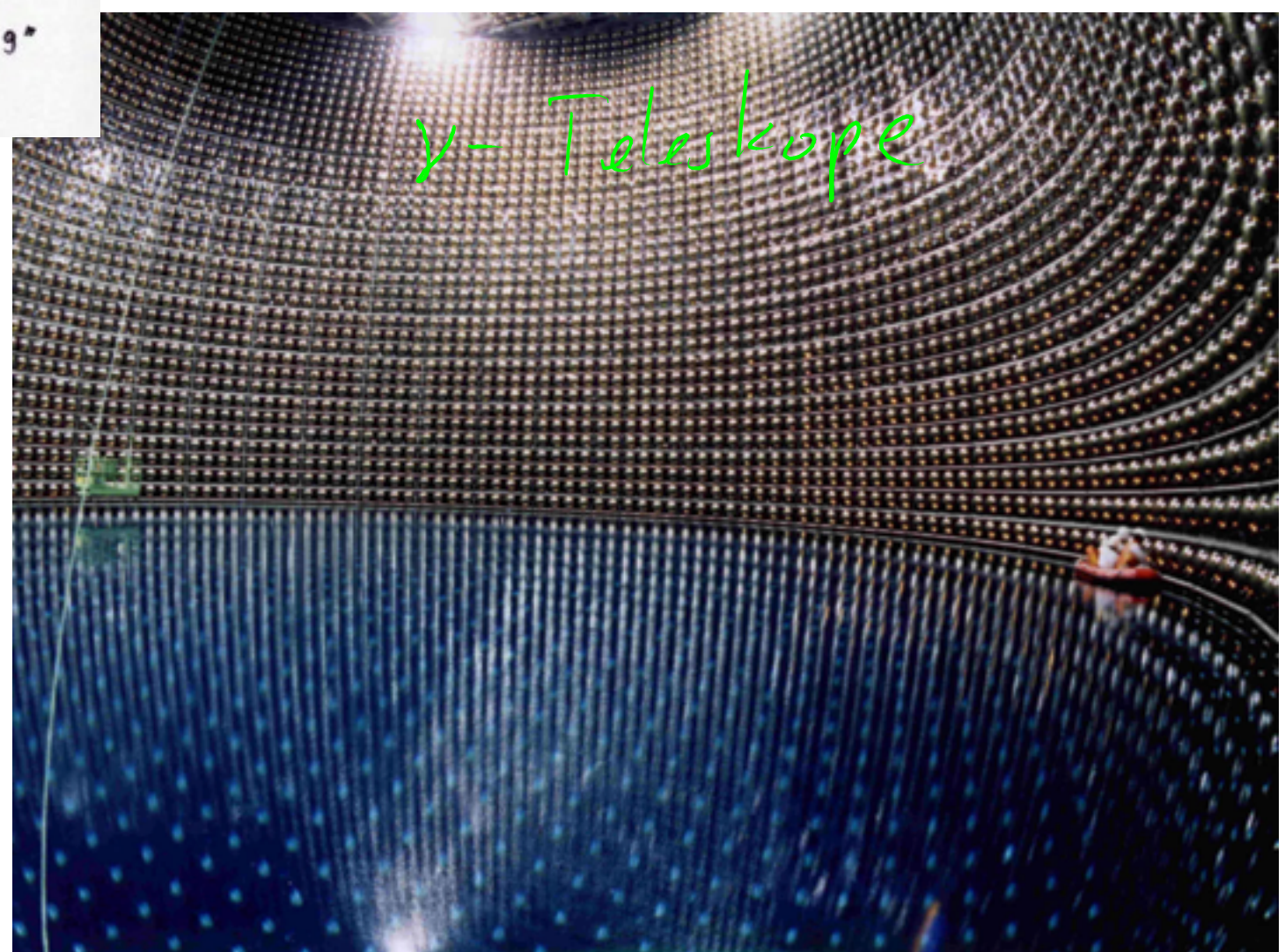
Cherenkov-Detektor

Kamiokande: 2440 t, $E_\nu > 8 \text{ MeV}$
IMB: 6200 t, $E_\nu > 20 \text{ MeV}$

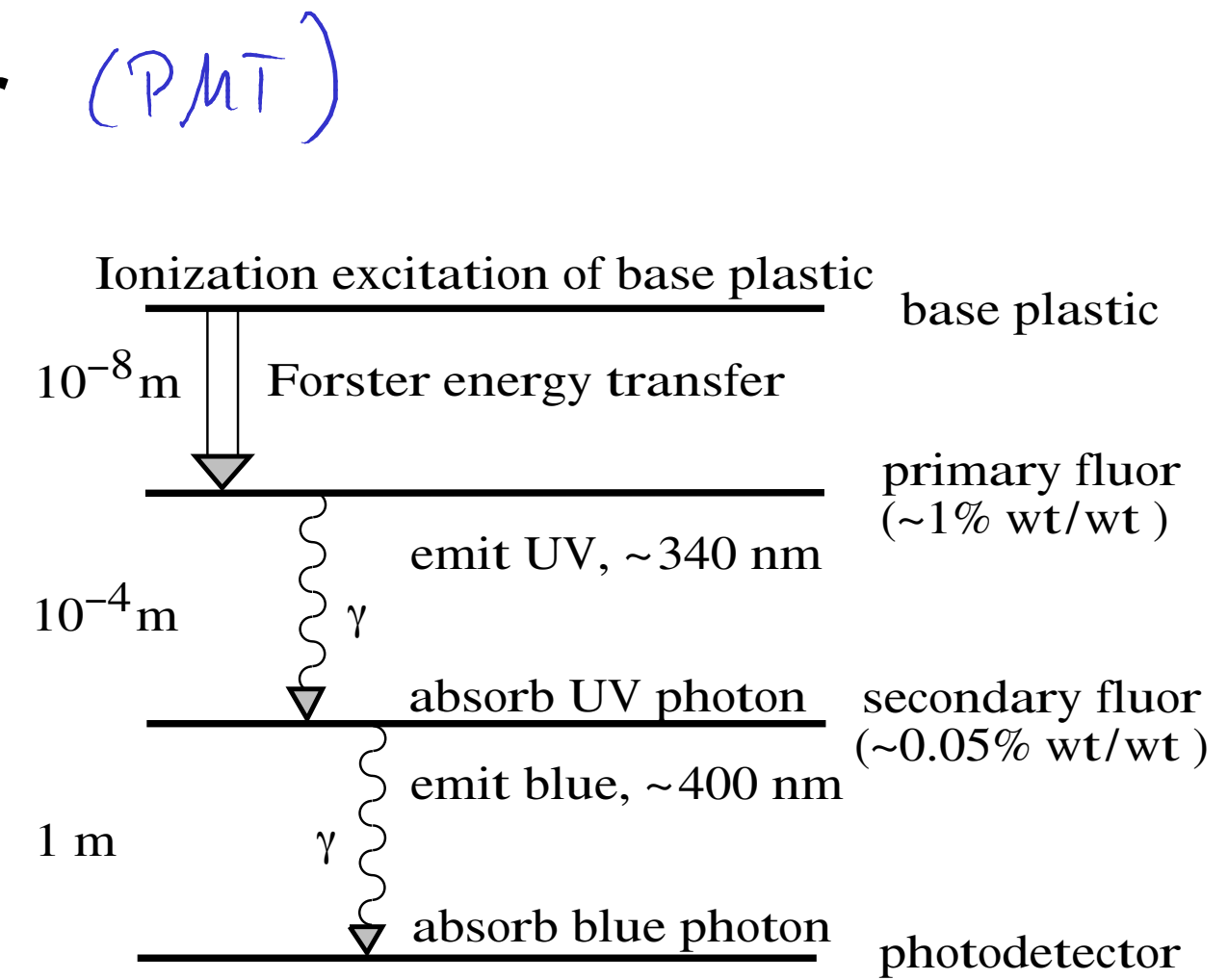
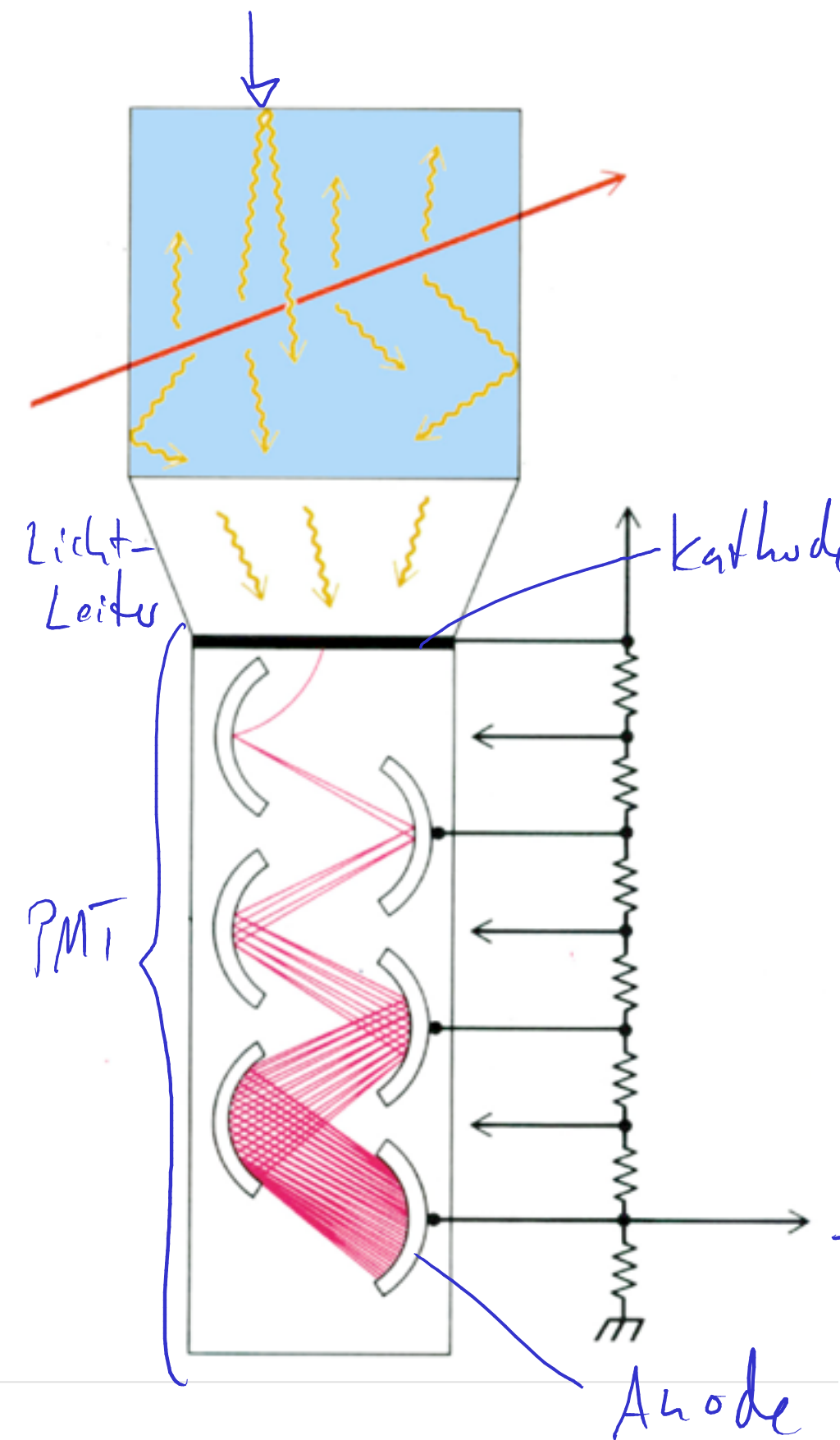


Geometrie / Winkel

- Geschwindigkeit
- Masse / Energie
- Richtung



Szintillator; Photomultiplier (PMT)



Signal, Verstärkung $\mathcal{O}(10^5)$

Szintillator

Wellenlängenschieber
↓ -Fasern

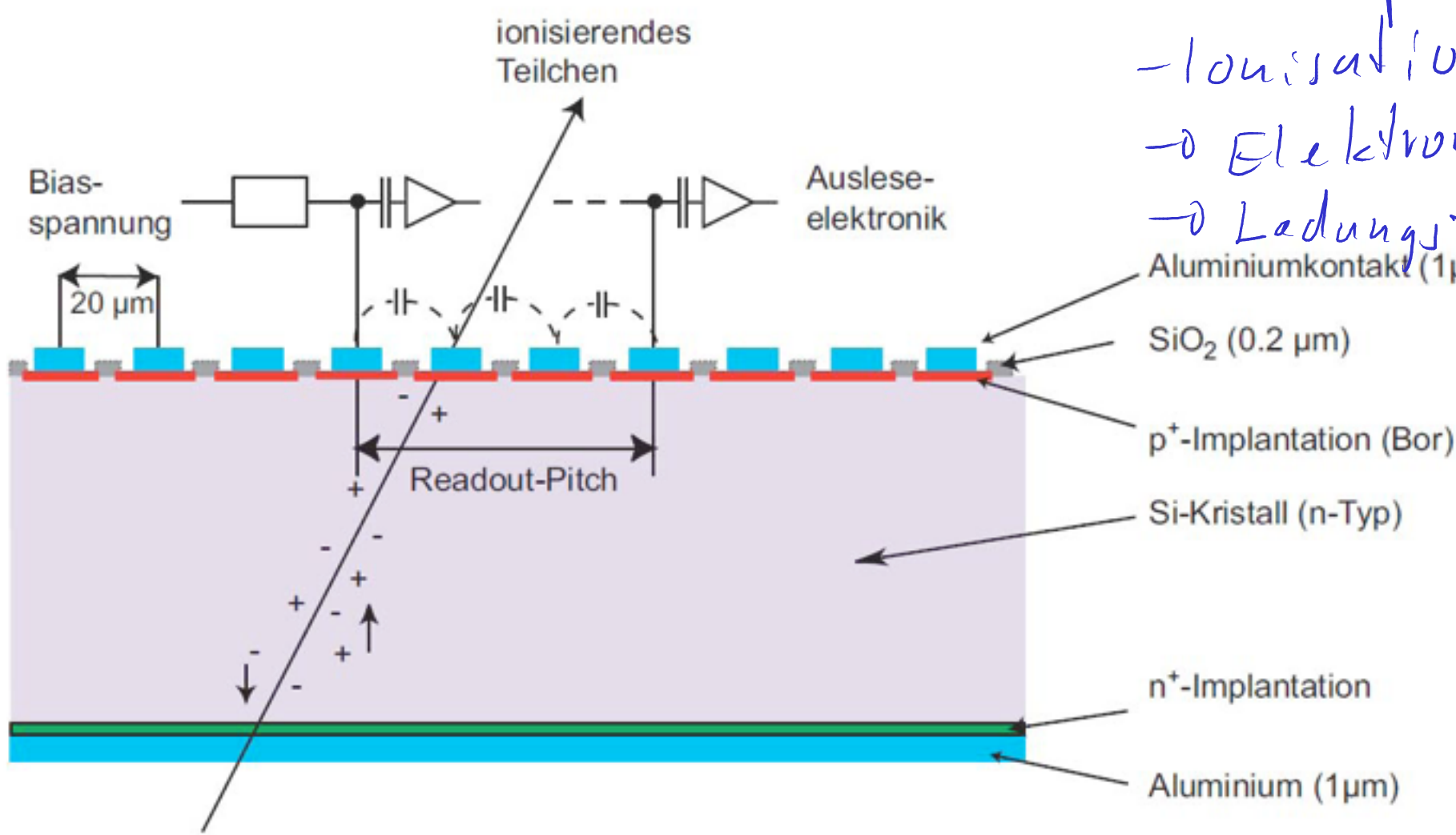


Totalreflektiv
zum
Photon -
Transport



Halbleiterdetektoren

=> "Festkörper - Gasdetektoren"
- Ionisation
→ Elektron - Loch Paare
→ Ladungstrennung durch \vec{E} -Feld



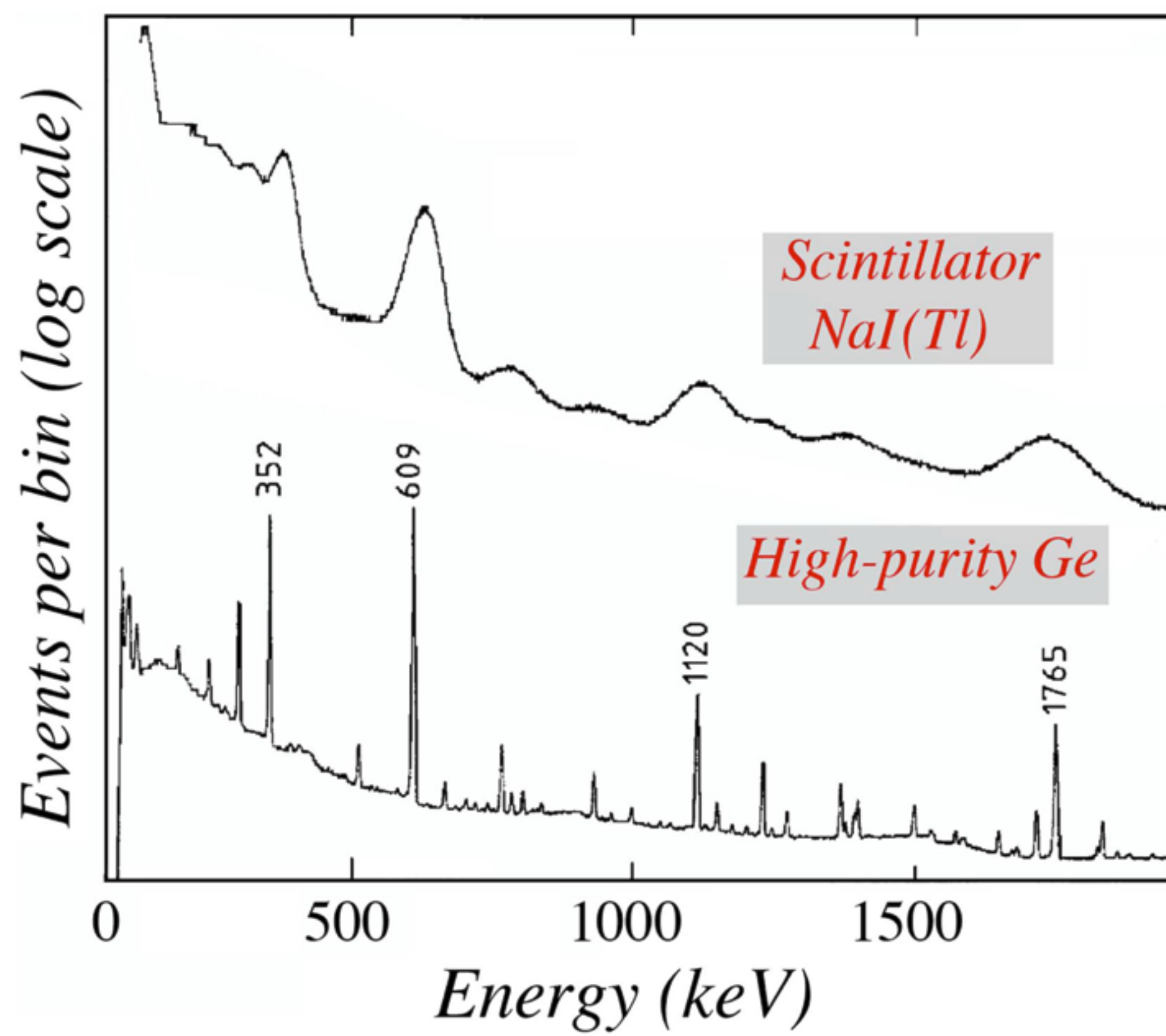
Vorteile: $I_{eff} = \mathcal{O}(1 \text{ eV})$

in Gasen sonst $I_{eff} = \mathcal{O}(10-30 \text{ eV})$

=> viel bessere Energiedarstellung

=> gute Ortsauflösung durch kleine Strukturen

Energieauflösung



Kalorimeter

inaktives Material

→ Schauerentwicklung

→ Energieübertrag auf viele niedrigenenergetische Teilchen
 $e^+ / e^- / \text{etc.}$

→ Absorption der Teilchen/Energie
aktives Material

→ Beobachtung
der Schauerentwicklung

→ Integrales Signal S

$$\Rightarrow S \propto E_0$$

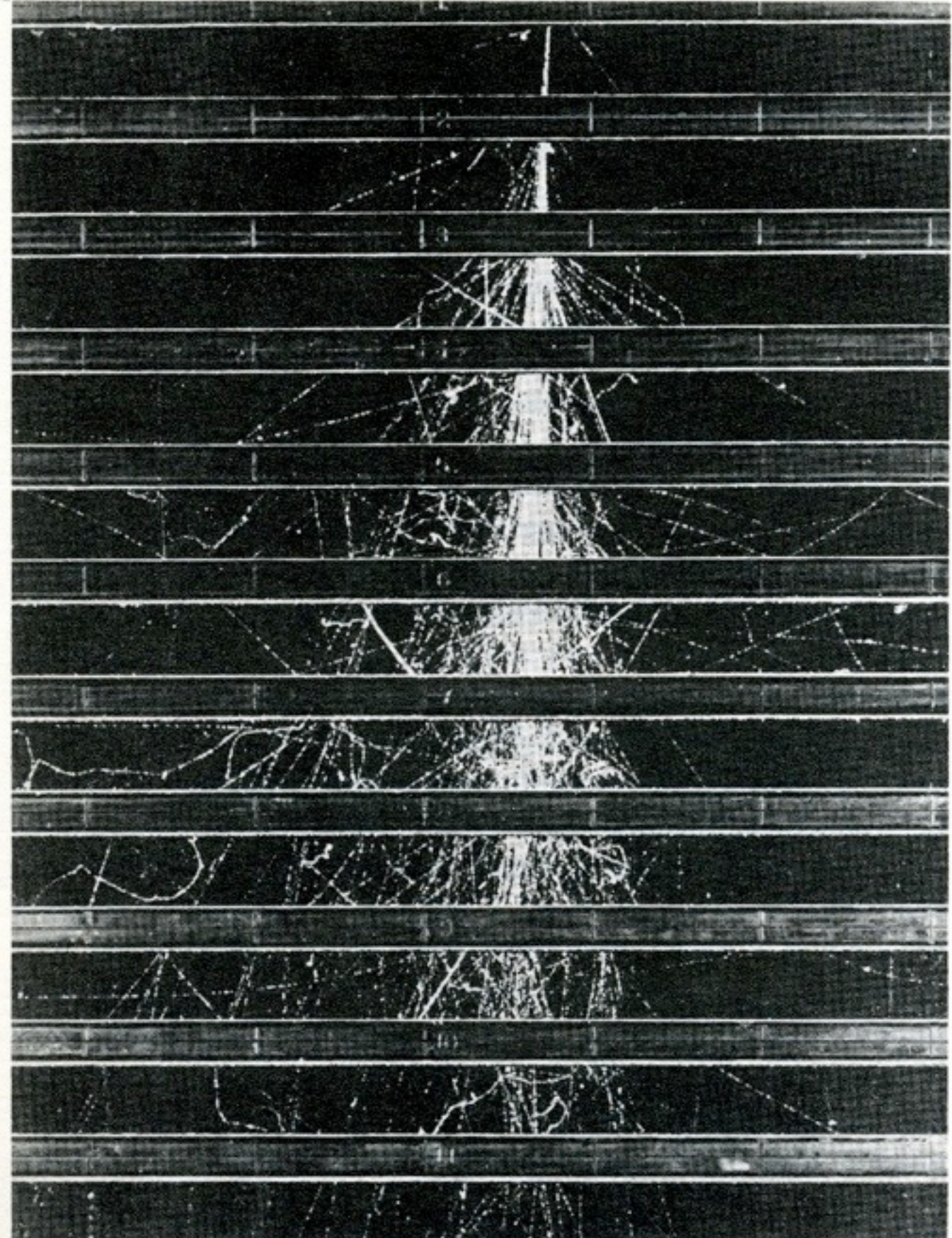


Fig. 7-5 A shower developing through a number of brass plates 1.25 cm thick placed across a cloud chamber. The shower was initiated in the top plate by an incident high-energy electron or photon. The photograph was taken by the MIT cosmic-ray group.

Grundsätzlich zwei Typen von Kolorimetern:

Elektromagnetisch:

- Hohe Raumdurchdringung
- kleine Strahlungslängen χ_0
z.B. $\chi_0(\text{Pb}) \sim 6\text{ mm}$
- kompakte Bauweise möglich

Hadronisch:

- hadronische Absorptionslängen
z.B. $\chi_{\text{int}}(\text{Pb}) \simeq 17\text{ cm}$

⇒ kompakte Bauform nicht möglich
⇒ sehr massive Detektoren

Auflösung:

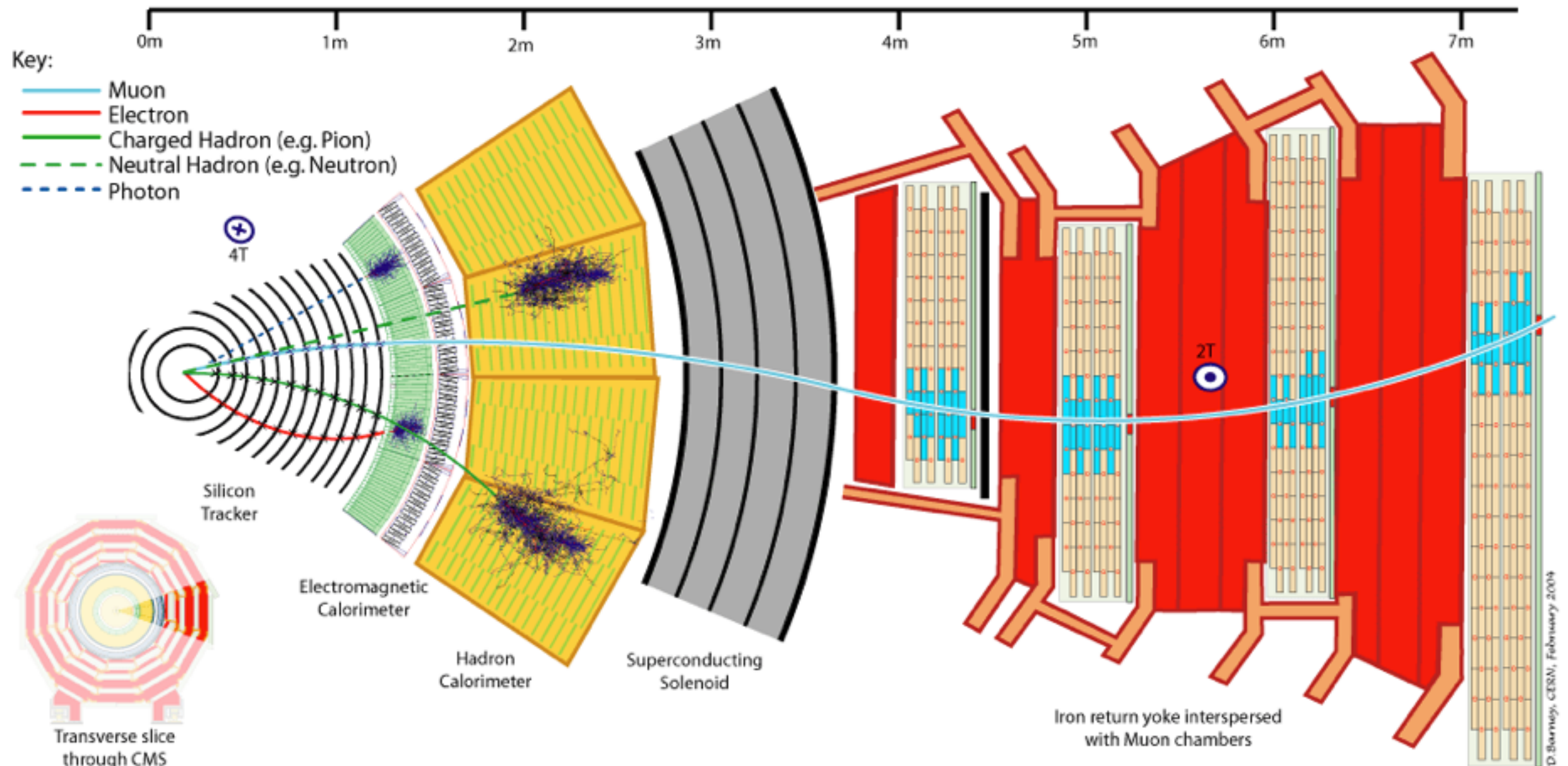
$$\frac{\delta E}{E} = a + \frac{b}{\sqrt{E}}$$

gut erst bei hohen Energien

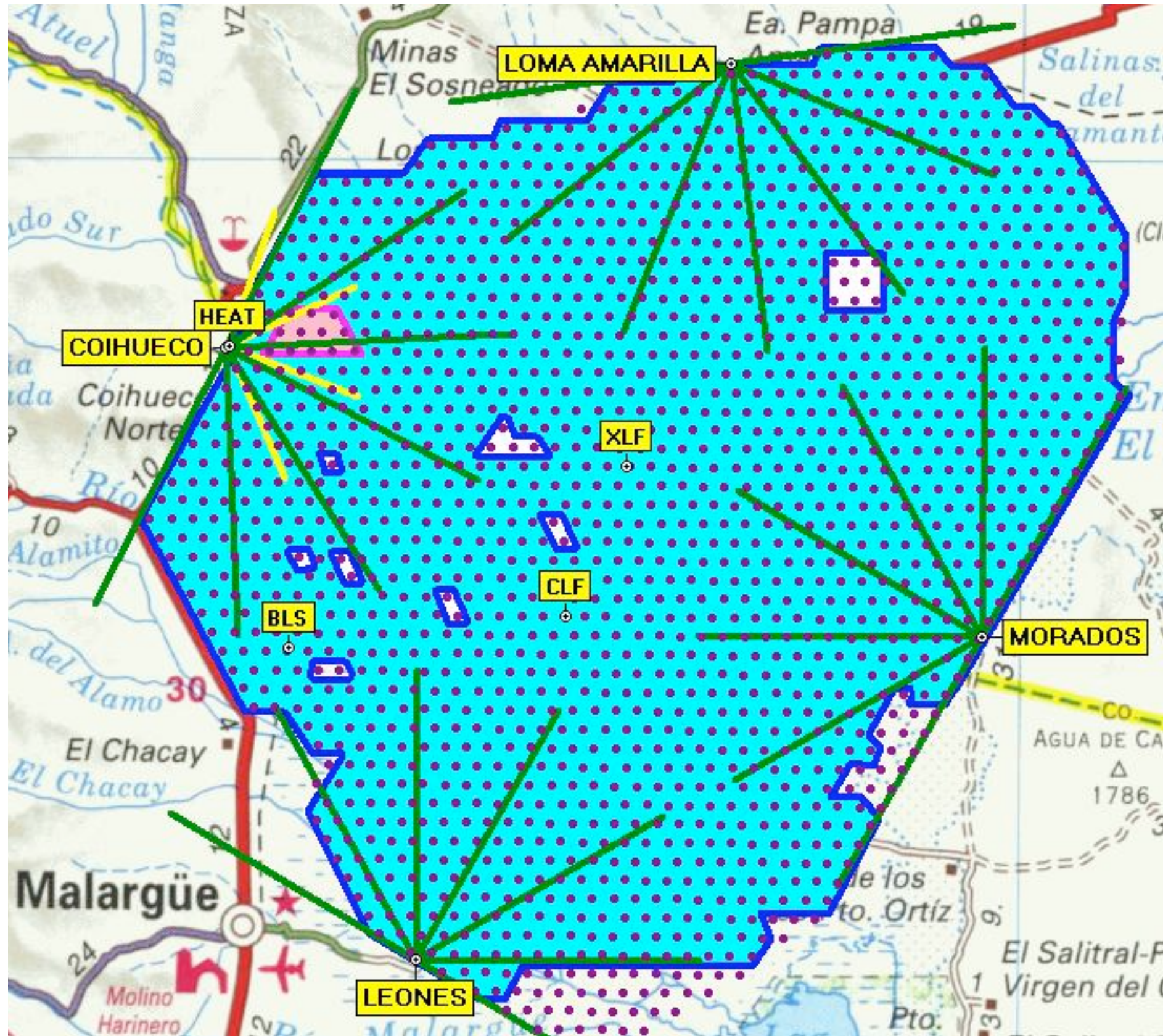
Auswählen

- Kalibrierung wichtig + technische Schwierig
- Nicht-Linearitäten
- Nicht-kompensierend ($\gamma, M, n \dots$)

Compact Muon Solenoid CMS am LHC

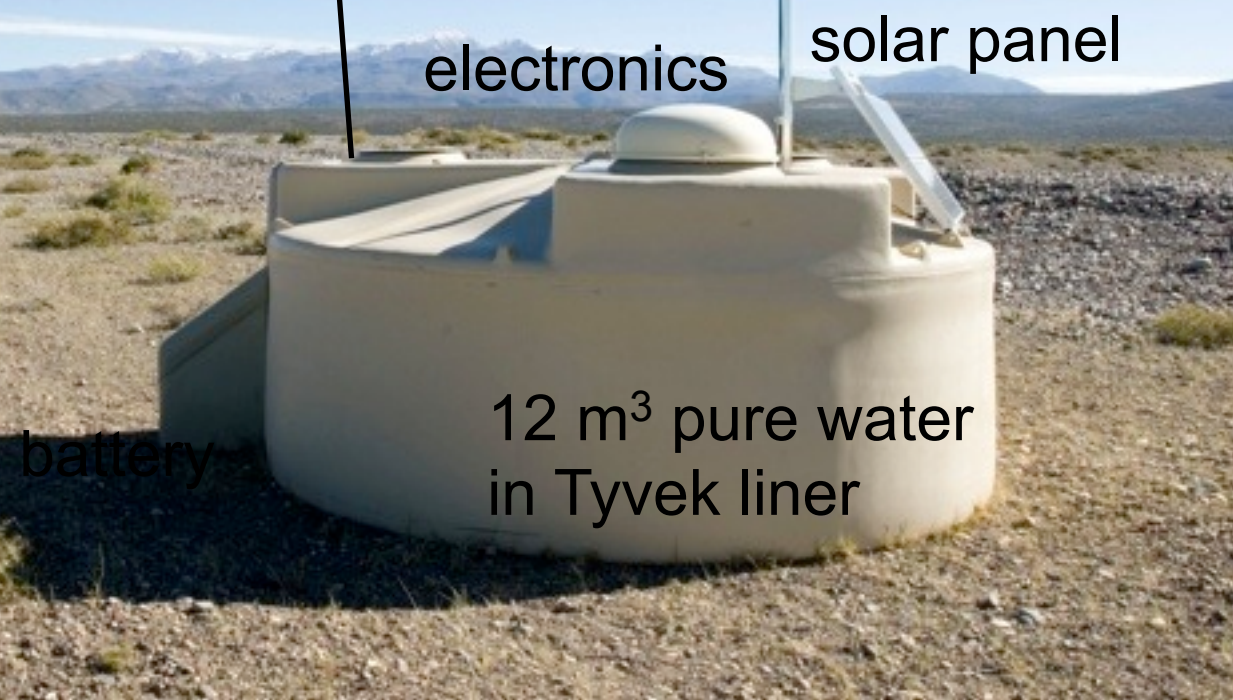


Pierre Auger-Observatorium

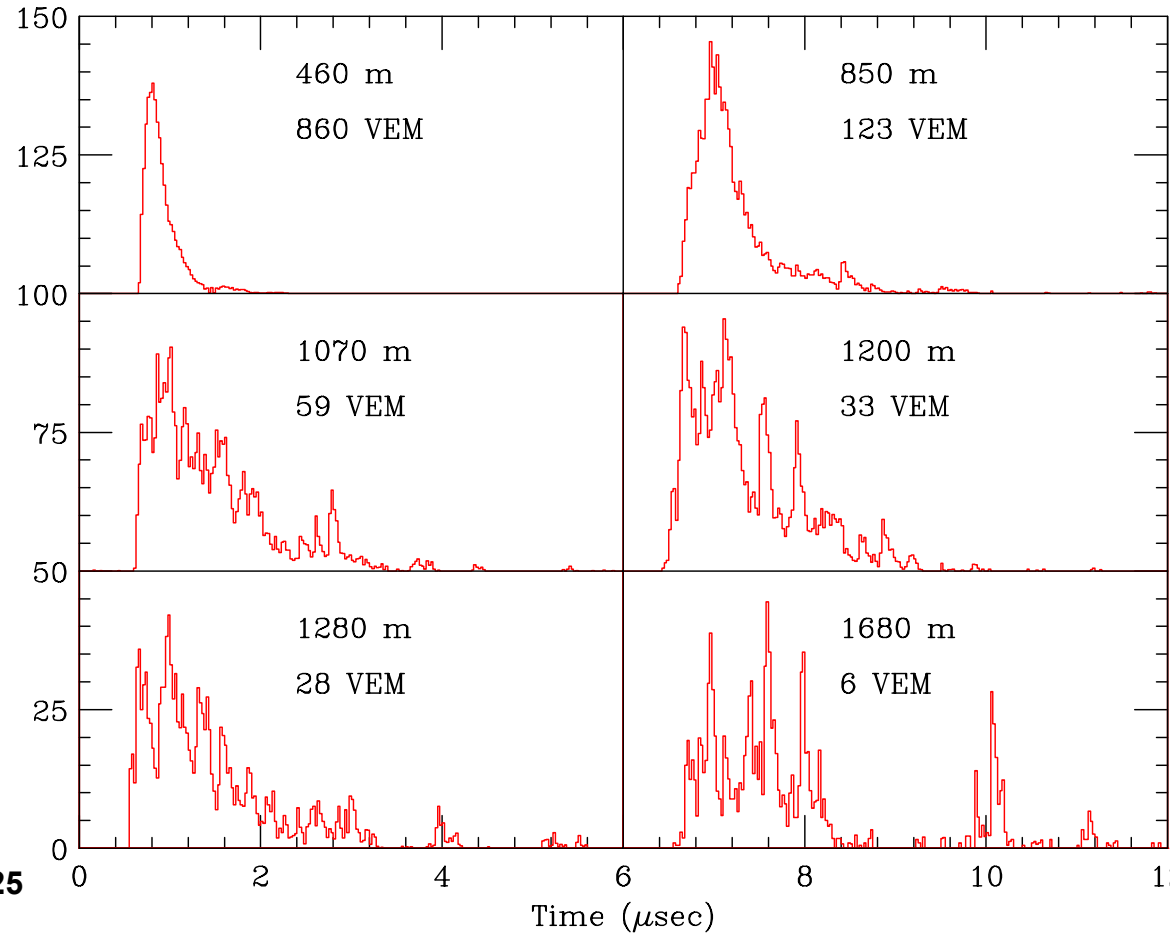


Wasser - Cherenkov - Teichendetektoren

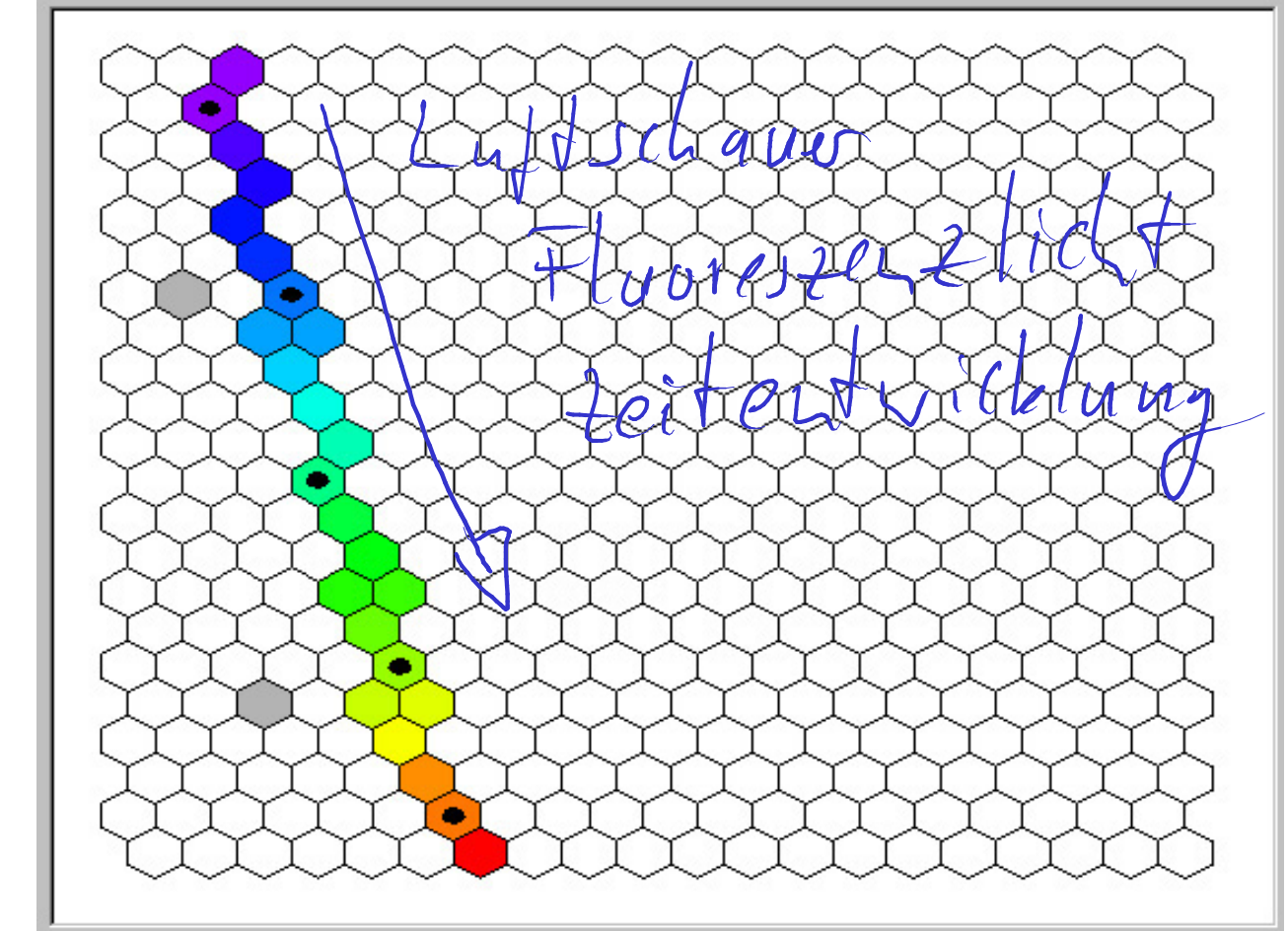
1 of 3
PMTs



FADC traces, Energy = 1.2×10^{19} eV, zenith = 13°



Event Display | All mirrors |



AMERICAN MUSEUM OF NATURAL HISTORY

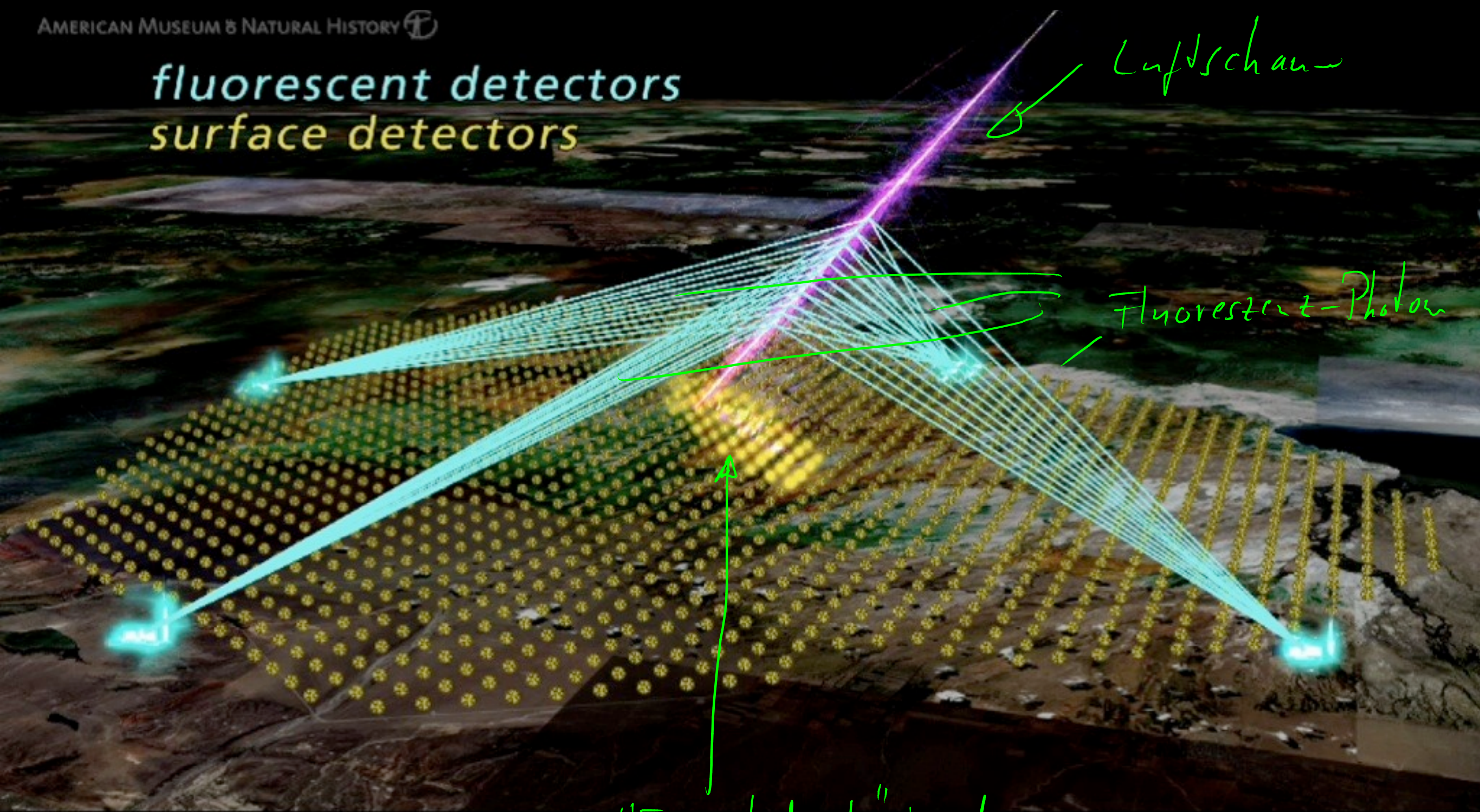
fluorescent detectors
surface detectors

✓ CR-Teilchen

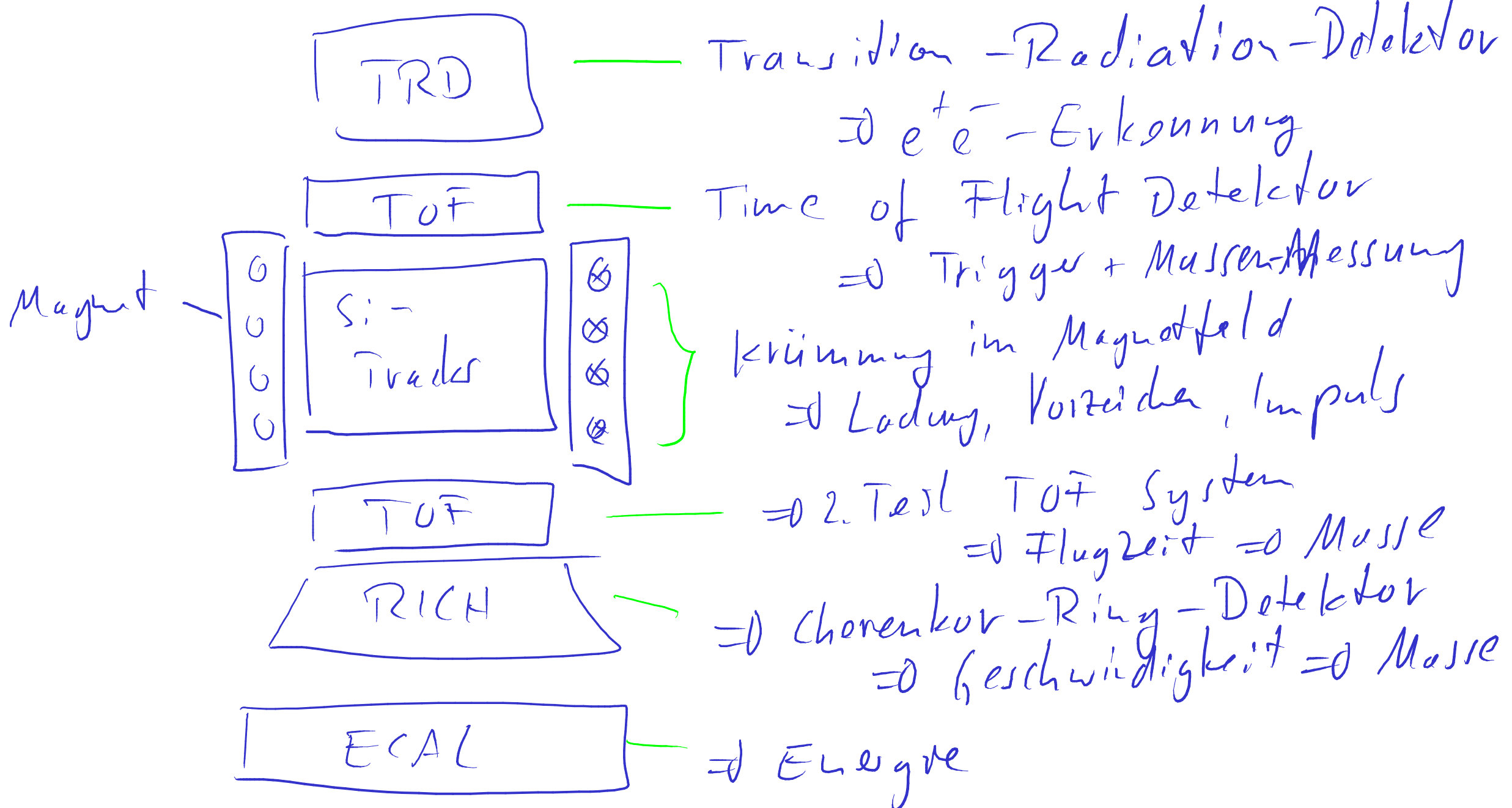
Lufschau-

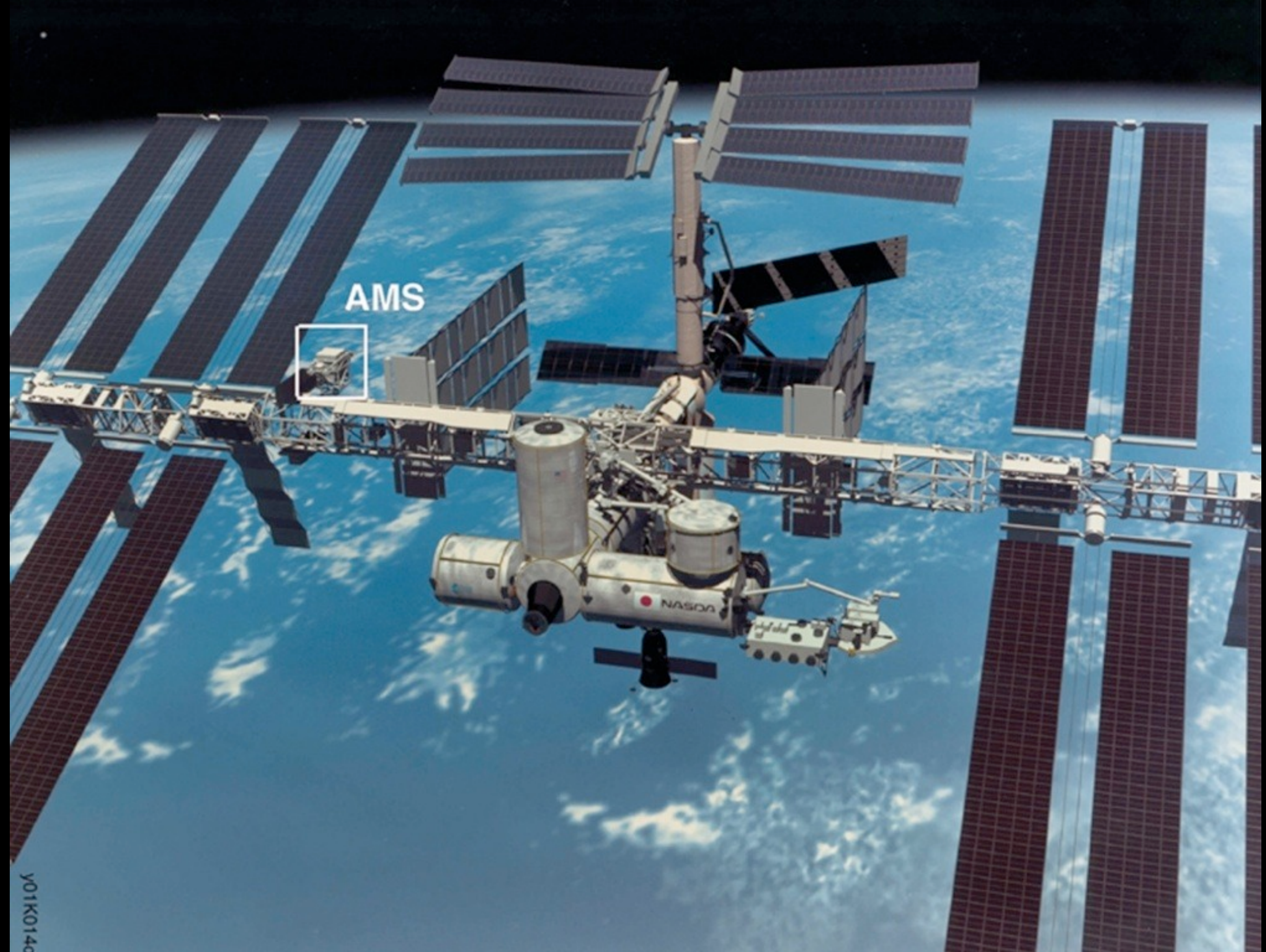
Fluoreszenz-Photonen

"Fussabdruck" in den
Oberflächen detektoren



Alpha Magnetic Spectrometer AMS an der ISS





y01k0140